

Introdução aos Números Complexos

Wagner Vieira Leite Nunes
Departamento de Matemática
ICMC - USP

18 de julho de 2019

Sumário

1	Introdução	5
2	Números Complexos	7
2.1	O que é um número complexo ?	7
2.2	Propriedades das operações com números complexos	15
2.3	Representação geométrica de um número complexo	18
2.4	Conjugado	22
2.5	Valor absoluto ou módulo	23
2.6	Forma polar	31
2.7	Extração de raiz	40
3	Demonstrações dos resultados	47
4	Resoluções dos exemplos	69

Capítulo 1

Introdução

O objetivo destas notas é introduzir os números complexos.

Na verdade o conjunto dos números complexos é caracterizado como sendo o conjunto \mathbb{R}^2 , quando munido da operação usual de adição, indicada por $+$, de \mathbb{R}^2 (como veremos na Definição 2.1.1) e de uma multiplicação, indicada por \cdot , em \mathbb{R}^2 (como veremos na Definição 2.1.2).

Portanto \mathbb{C} , o conjunto dos números complexos, é o conjuntor \mathbb{R}^2 , munido das operações $+$ e \cdot , citadas acima.

Serão exibidos os conceitos relacionados com o conteúdo acima, bem como propriedades e aplicações dos mesmos.

As referências (ver [C]) ao final das notas poderão servir como material extra importante para o conteúdo aqui desenvolvido.

Capítulo 2

Números Complexos

Neste capítulo introduziremos os números complexos, operações, representação geométrica e algumas aplicações simples dos mesmos.

2.1 O que é um número complexo ?

Começaremos introduzindo a:

Definição 2.1.1 *Dados $(x_1, y_1), (x_2, y_2) \in \mathbb{R}^2$, definiremos a adição (ou soma) do par ordenado (x_1, y_1) com o par ordenado (x_2, y_2) , indicada por $(x_1, y_1) + (x_2, y_2)$, como sendo o par ordenados:*

$$(x_1, y_1) + (x_2, y_2) \doteq (x_1 + x_2, y_1 + y_2). \quad (2.1)$$

Observação 2.1.1 *Notemos que a operação de adição, dada por (2.1), nos fornece uma função*

$$+ : \mathbb{R}^2 \times \mathbb{R}^2 \rightarrow \mathbb{R}^2,$$

definida da seguinte forma:

$$+((x_1, y_1), (x_2, y_2)) \doteq (x_1, y_1) + (x_2, y_2), \quad \text{para cada } (x_1, y_1), (x_2, y_2) \in \mathbb{R}^2. \quad (2.2)$$

Podemos também introduzir uma outra operação, dada pela:

Definição 2.1.2 *Dados $(x_1, y_1), (x_2, y_2) \in \mathbb{R}^2$, definiremos o produto (ou multiplicação) do par ordenado (x_1, y_1) com o par ordenado (x_2, y_2) , indicado por $(x_1, y_1) \cdot (x_2, y_2)$, como sendo o par ordenado:*

$$(x_1, y_1) \cdot (x_2, y_2) \doteq (x_1 x_2 - y_1 y_2, x_1 y_2 + y_1 x_2). \quad (2.3)$$

Observação 2.1.2 *Notemos que a operação de multiplicação, dada por (2.3), nos fornece uma função*

$$\cdot : \mathbb{R}^2 \times \mathbb{R}^2 \rightarrow \mathbb{R}^2,$$

definida da seguinte forma:

$$\cdot((x_1, y_1), (x_2, y_2)) \doteq (x_1, y_1) \cdot (x_2, y_2), \quad \text{para cada } (x_1, y_1), (x_2, y_2) \in \mathbb{C}. \quad (2.4)$$

Podemos agora introduzir o conceito central de todas as nossas futuras discussões, a saber:

Definição 2.1.3 O conjunto \mathbb{R}^2 , munido das operações de adição, dada por (2.1), e de multiplicação, dada por (2.2), será denominado conjunto dos números complexos e indicado por \mathbb{C} .

Observação 2.1.3

1. Segundo a Definição 2.1.3,

$$\mathbb{C} = \mathbb{R}^2,$$

onde, em \mathbb{R}^2 estamos considerando as operações de adição, dada por (2.1), e de multiplicação, dada por (2.2).

2. Denotaremos um elemento de \mathbb{C} por z , ou seja,

$$z \doteq (x, y) \in \mathbb{R}^2.$$

3. Para cada $x \in \mathbb{R}$, o número complexo

$$(x, 0)$$

será identificado com o número real x , ou seja,

$$x \sim (x, 0).$$

Notemos que tal identificação é delicada pois se formos levar ao pé da letra, o número real x não pode ser comparado com o par ordenado $(x, 0)$.

Neste sentido, todo cuidado é pouco !

Tal identificação será muito útil para o estudo de variável complexa.

4. Deste modo, o conjunto formado pelos números reais poderá ser visto como um "subconjunto" do conjunto formado por todos os números complexos, ou seja,

$$" \mathbb{R} \subseteq \mathbb{C} ", \quad (2.5)$$

onde a "inclusão" acima é, na verdade, a aplicação

$$I: \mathbb{R} \rightarrow \mathbb{C},$$

dada por:

$$I(x) \doteq (x, 0), \quad \text{para cada } x \in \mathbb{R}. \quad (2.6)$$

5. Por abuso de notação, escreveremos:

$$x = (x, 0). \quad (2.7)$$

Novamente lembramos que tal igualdade não faz sentido do ponto de vista matemático (um número real igual ao um para ordenado ? !).

Por isto chamamos a atenção que a (2.7) é na verdade uma identificação.

A seguir introduziremos alguns conceitos importantes que serão utilizados no decorrer destas notas.

Começaremos pela:

Definição 2.1.4 O número complexo $(0, 1)$ será denominado unidade imaginária e denotada por i , ou seja,

$$i \doteq (0, 1). \quad (2.8)$$

Temos também a

Definição 2.1.5 O número complexo $(0, 0)$, será denotado por O , ou seja,

$$O \doteq (0, 0). \quad (2.9)$$

Outras noções importantes são dados pela:

Definição 2.1.6 Se $z = (x, y) \in \mathbb{C}$, diremos que o número real x é a parte real do número complexo z , e indicado por $\Re(z)$, ou seja,

$$\Re(z) \doteq x. \quad (2.10)$$

De modo semelhante, diremos que o número real y é a parte imaginária do número complexo z , e indicado por $\Im(z)$, ou seja,

$$\Im(z) \doteq y. \quad (2.11)$$

Observação 2.1.4 Notemos que com a Definição 2.1.6, podemos obter uma função

$$\Re : \mathbb{R}^2 \rightarrow \mathbb{R},$$

definida da seguinte forma:

$$\Re(z) \doteq x, \quad \text{para cada } z \doteq (x, y) \in \mathbb{C}. \quad (2.12)$$

Definição 2.1.7 Um número complexo z , será dito imaginário puro, se for da forma

$$z = (0, y), \quad \text{para algum } y \in \mathbb{R}, \quad (2.13)$$

ou seja, se

$$\Re(z) = 0. \quad (2.14)$$

Observação 2.1.5 *Notemos que com a Definição 2.1.7, podemos obter uma função*

$$\Im : \mathbb{R}^2 \rightarrow \mathbb{R},$$

definida da seguinte forma:

$$\Im(z) \doteq y, \quad \text{para cada } z \doteq (x, y) \in \mathbb{C}. \quad (2.15)$$

Temos agora a

Proposição 2.1.1 *Sejam $z_1, z_2 \in \mathbb{C}$.*

Então:

$$\Re[z_1 + z_2] = \Re[z_1] + \Re[z_2], \quad (2.16)$$

$$\Im[z_1 + z_2] = \Im[z_1] + \Im[z_2]. \quad (2.17)$$

Demonstração:

Veja a demonstração 3.0.1 do capítulo 3. □

Para finalizar esta seção temos a:

Definição 2.1.8 *Diremos que dois números complexos $z_1, z_2 \in \mathbb{C}$ são iguais, denotando por $z_1 = z_2$, se as suas respectivas partes reais e suas partes imaginárias forem iguais, ou seja, se*

$$z_1 = (x_1, y_1) \quad \text{e} \quad z_2 = (x_2, y_2), \quad \text{com } x_1, x_2, y_1, y_2 \in \mathbb{R}, \quad (2.18)$$

então

$$z_1 = z_2$$

se, e somente se,

$$x_1 = x_2 \quad \text{e} \quad y_1 = y_2. \quad (2.19)$$

Observação 2.1.6 *Das Definições 2.1.5 e 2.1.8 acima, segue que*

$$z = 0$$

$$\text{se, e somente se, } z = (0, 0). \quad (2.20)$$

Em particular,

$$z = (x, y) \neq 0$$

$$\text{se, e somente se, } x \neq 0 \quad \text{ou} \quad y \neq 0. \quad (2.21)$$

Outra noção é dado pela:

Definição 2.1.9 *Dado o número complexo $z = (x, y) \in \mathbb{C}$, definiremos o oposto do número complexo \underline{z} , , indicado por $\underline{-z}$, como sendo o número complexo dado por:*

$$-z \doteq (-x, -y). \quad (2.22)$$

Baseado na operação de adição, introduzida na Definição 2.1.1 e na Definição 2.1.9, podemos também introduzir outra operação em \mathbb{C} , a saber:

Definição 2.1.10 *Dados $z_1, z_2 \in \mathbb{C}$, definiremos a diferença (ou subtração) do número complexo z_1 , pelo o número complexo z_2 , indicada por $z_1 - z_2$, como sendo o número complexo:*

$$z_1 - z_2 \doteq z_1 + (-z_2), \quad (2.23)$$

onde $-z_2$ é o número complexo oposto do número complexo z_2 (definido por (2.22)).

Observação 2.1.7

Notemos que a operação de subtração, dada por (2.23), nos fornece uma função

$$- : \mathbb{C} \times \mathbb{C} \rightarrow \mathbb{C},$$

definida da seguinte forma:

$$-(z_1, z_2) \doteq z_1 - z_2, \quad \text{para cada } z_1, z_2 \in \mathbb{C}. \quad (2.24)$$

Com isto temos a:

Proposição 2.1.2

$$z_1 = (x_1, y_1) \quad (2.25)$$

$$\text{e } z_2 = (x_2, y_2) \in \mathbb{C}, \quad (2.26)$$

então

$$z_1 - z_2 = (x_1 - x_2, y_1 - y_2). \quad (2.27)$$

Demonstração:

Veja a demonstração 3.0.2 do capítulo 3.

□

Podemos agora introduzir a:

Definição 2.1.11 *O conjunto formado pelos números complexos que são diferentes do número complexo 0 (dado por (2.9)) será indicado por \mathbb{C}^* , ou seja,*

$$\mathbb{C}^* \doteq \{z \in \mathbb{C}; z \neq 0\}. \quad (2.28)$$

Baseado na operação de multiplicação, introduzida na Definição 2.1.2, podemos também introduzir uma outra operação em \mathbb{C} , a saber:

Definição 2.1.12 *Dados $z_1 \in \mathbb{C}$ e $z_2 \in \mathbb{C}^*$, definiremos o quociente (ou divisão) do número complexo z_1 , pelo o número complexo z_2 , indicada por $\frac{z_1}{z_2}$, como sendo o número complexo*

$$z_3, \quad \text{onde: } z_2 \cdot z_3 = z_1. \quad (2.29)$$

Observação 2.1.8

1. Mais adiante mostraremos que, na situação da Definição 2.1.12, existe um único $z_3 \in \mathbb{C}$ satisfazendo (2.29) (veja a Proposição 2.1.6. a seguir).

2. Notemos que a operação de divisão, dada por (2.29), nos fornece uma função

$$/ : \mathbb{C} \times \mathbb{C}^* \rightarrow \mathbb{C},$$

definida da seguinte forma:

$$/(z_1, z_2) \doteq \frac{z_1}{z_2}, \quad \text{para cada } z_1 \in \mathbb{C}, z_2 \in \mathbb{C}^*. \quad (2.30)$$

3. Se $x, y \in \mathbb{R}$, das Definições 2.1.1 e 2.1.2, temos:

$$(x, 0) + (0, y) \stackrel{(2.1)}{=} (x, y) \quad (2.31)$$

$$\begin{aligned} (x, 0) \cdot (1, 0) &\stackrel{(2.3)}{=} (x \cdot 1 - 0 \cdot 0, x \cdot 0 + 0 \cdot 1) \\ &= (x, 0), \end{aligned} \quad (2.32)$$

$$\begin{aligned} (y, 0) \cdot (0, 1) &\stackrel{(2.3)}{=} (y \cdot 0 - 0 \cdot 1, y \cdot 1 + 0 \cdot y) \\ &= (0, y) \end{aligned} \quad (2.33)$$

Logo se

$$z = (x, y) \in \mathbb{C},$$

teremos:

$$\begin{aligned} z &= (x, y) \\ &\stackrel{(2.31)}{=} (x, 0) + (0, y) \\ &\stackrel{(2.32) \text{ e } (2.33)}{=} \underbrace{(x, 0)}_{\stackrel{(2.7)}{=} x} \cdot \underbrace{(1, 0)}_{\stackrel{(2.7)}{=} 1} + \underbrace{(y, 0)}_{\stackrel{(2.7)}{=} y} \cdot \underbrace{(0, 1)}_{\stackrel{(2.8)}{=} i} \\ &= x \cdot 1 + y \cdot i \\ &= x + y \cdot i, \\ \text{ou seja, } z &= x + y \cdot i, \end{aligned} \quad (2.34)$$

que é a representação usual de números complexos.

Observemos que tal representação (isto é, (2.34)) leva em conta a delicada identificação (2.7) (identificação de um número real com um par ordenado).

4. Notemos que

$$\begin{aligned}
 i^2 &= i \cdot i \\
 &\stackrel{(2.8)}{=} (0, 1) \cdot (0, 1) \\
 &\stackrel{(2.3)}{=} (0 \cdot 0 - 1 \cdot 1, 0 \cdot 1 + 1 \cdot 0) \\
 &= (-1, 0) \\
 &\stackrel{(2.7)}{=} -1, \\
 \text{ou seja, } i^2 &= -1. \tag{2.35}
 \end{aligned}$$

Novamente, vale chamar a atenção, que (2.35), leva em conta a delicada identificação (2.7) (identificação de um número real com um par ordenado).

Utilizando-se a notação (2.34) acima, temos os seguinte resultados:

Proposição 2.1.3 *Sejam*

$$z_1 = (x_1, y_1), \quad z_2 = (x_2, y_2) \in \mathbb{C}.$$

Então

$$\begin{aligned}
 z_1 + z_2 &= (x_1 + x_2) + (y_1 + y_2) \cdot i \\
 \text{ou seja, } (x_1 + y_1 \cdot i) + (x_2 + y_2 \cdot i) &= (x_1 + x_2) + (y_1 + y_2) \cdot i. \tag{2.36}
 \end{aligned}$$

Demonstração:

Veja a demonstração 3.0.3 do capítulo 3.

□

Observação 2.1.9 *Em síntese, a Proposição 2.1.3 acima nos diz que, a parte real da adição de dois números complexos, será igual a soma das respectivas partes reais de cada uma das parcelas e a parte imaginária da adição de dois números complexos, será igual a soma das respectivas partes imaginárias de cada uma das parcelas.*

De modo semelhante, temos a:

Proposição 2.1.4 *Se*

$$z_1 = (x_1, y_1), \quad z_2 = (x_2, y_2) \in \mathbb{C},$$

então

$$\begin{aligned}
 z_1 - z_2 &= (x_1 - x_2) + (y_1 - y_2) \cdot i, \\
 \text{ou seja, } (x_1 + y_1 \cdot i) - (x_2 + y_2 \cdot i) &= (x_1 - x_2) + (y_1 - y_2) \cdot i. \tag{2.37}
 \end{aligned}$$

Demonstração:

Veja a demonstração 3.0.4 do capítulo 3.

□

Observação 2.1.10 *Em síntese, a Proposição 2.1.4 acima, nos diz que a parte real da subtração de dois números complexos, será igual a subtração das respectivas partes reais de cada uma das parcelas e a parte imaginária da subtração de dois números complexos, será igual a subtração das respectivas partes imaginárias de cada uma das parcelas.*

De modo semelhante, temos a

Proposição 2.1.5 *Sejam*

$$z_1 = (x_1, y_1), \quad z_2 = (x_2, y_2) \in \mathbb{C}.$$

Então

$$\begin{aligned} z_1 \cdot z_2 &= (x_1 x_2 - y_1 y_2) + (x_1 y_2 + y_1 x_2) \cdot i, \\ \text{ou seja, } (x_1 + y_1 \cdot i) + (x_2 + y_2 \cdot i) &= (x_1 x_2 - y_1 y_2) + (x_1 y_2 + y_1 x_2) \cdot i. \end{aligned} \quad (2.38)$$

Demonstração:

Veja a demonstração 3.0.5 do capítulo 3. □

Observação 2.1.11 *Notemos que, se $a \in \mathbb{R} \stackrel{(2.5)}{\subseteq} \mathbb{C}$ e $z = (x, y) \in \mathbb{C}$, teremos:*

$$\begin{aligned} a \cdot (x + y \cdot i) &\stackrel{(2.34)}{=} a \cdot z \\ &\stackrel{(2.7)}{=} (a, 0) \cdot (x, y) \\ &\stackrel{(2.3)}{=} (ax - 0 \cdot y, ay + 0 \cdot x) \\ &= (ax, ay) \\ &\stackrel{(2.34)}{=} (ax) + (ay) \cdot i, \end{aligned}$$

ou seja,

$$a \cdot (x + y \cdot i) = (ax) + (ay) \cdot i, \quad (2.39)$$

ou seja, a parte real da multiplicação de um número real (visto como um número complexo, pela identificação (2.7)) por um número complexo, será igual a multiplicação do número real, pela parte real do número complexo.

Além disso, a parte imaginária da multiplicação de um número real (visto como um número complexo, pela identificação (2.7)) por um número complexo, será igual a multiplicação do número real, pela parte imaginária do número complexo.

Temos também a:

Proposição 2.1.6 *Sejam*

$$z_1 = (x_1, y_1), \quad z_2 = (x_2, y_2) \in \mathbb{C}, \quad (2.40)$$

com

$$z_2 \neq 0 \quad (2.41)$$

e $z_3 \in \mathbb{C}$ satisfazendo

$$z_2 \cdot z_3 = z_1. \quad (2.42)$$

Então

$$\begin{aligned} z_3 &= \left(\frac{x_1 x_2 + y_1 y_2}{x_2^2 + y_2^2}, \frac{y_1 x_2 - x_1 y_2}{x_2^2 + y_2^2} \right) \\ &\stackrel{(2.34)}{=} \left(\frac{x_1 x_2 + y_1 y_2}{x_2^2 + y_2^2} \right) + \left(\frac{y_1 x_2 - x_1 y_2}{x_2^2 + y_2^2} \right) \cdot i. \end{aligned} \quad (2.43)$$

Demonstração:

Veja a demonstração 3.0.6 do capítulo 3.

□

Apliquemos as ideias acima ao

Exemplo 2.1.1 Calcular o valor da seguinte expressão complexa:

$$\frac{(-1 + 3 \cdot i) \cdot (2 + 3 \cdot i)}{1 - i} + 8 \cdot i.$$

Resolução:

Veja a resolução 4.0.1 do capítulo 4.

□

2.2 Propriedades das operações com números complexos

As propriedades básicas relacionadas com as operações de adição e multiplicação de números complexos são dadas pela:

Proposição 2.2.1 Sejam $z_1, z_2, z_3 \in \mathbb{C}$.

Então valem:

1. a propriedade comutativa das operações de adição e multiplicação de números complexos, isto é:

$$z_1 + z_2 = z_2 + z_1, \quad (2.44)$$

$$z_1 \cdot z_2 = z_2 \cdot z_1. \quad (2.45)$$

2. a propriedade associativa das operações de adição e multiplicação de números complexos, isto é:

$$z_1 + (z_2 + z_3) = (z_1 + z_2) + z_3, \quad (2.46)$$

$$z_1 \cdot (z_2 \cdot z_3) = (z_1 \cdot z_2) \cdot z_3. \quad (2.47)$$

3. a propriedade distributiva da operação de multiplicação em relação a operação de adição de números complexos, isto é:

$$z_1 \cdot (z_2 + z_3) = z_1 \cdot z_2 + z_1 \cdot z_3, \quad (2.48)$$

4. a propriedade de existência de um elemento neutro da operação de adição, a saber, $O \in \mathbb{C}$ tem a seguinte propriedade:

$$z_1 + O = z_1. \quad (2.49)$$

Além disso o número complexo O , dado por (2.9), é o único que tem a propriedade (2.49).

5. a propriedade de existência de um elemento neutro da operação de multiplicação, a saber,

$$1 = (1, 0) \in \mathbb{C}$$

(levando-se em conta a identificação (2.7)), tem a seguinte propriedade:

$$z_1 \cdot 1 = z_1. \quad (2.50)$$

Além disso o número complexo $1 \stackrel{(2.7)}{=} (1, 0)$, dado por (2.7), é o único que tem a propriedade (2.50).

6. a propriedade de existência de um elemento oposto associado a um número complexo, isto é, dado $z \in \mathbb{C}$, existe um número complexo $w \in \mathbb{C}$ que satisfaz a seguinte propriedade:

$$z + w = O. \quad (2.51)$$

Tal elemento é único e é dado por

$$w \doteq -z,$$

onde o número complexo $-z$ é dado por (2.22).

7. a propriedade de existência de um elemento inverso associado a um número complexo diferente de O , isto é, dado

$$z = (x, y) \in \mathbb{C}^*,$$

podemos encontrar um $w \in \mathbb{C}^*$, de modo que

$$z \cdot w = 1. \quad (2.52)$$

Além disso, se

$$z = (x, y) \neq (0, 0) \quad (2.53)$$

o número complexo w será dado por

$$w \doteq \left(\frac{x}{x^2 + y^2}, \frac{-y}{x^2 + y^2} \right). \quad (2.54)$$

O número complexo w , dado por (2.54), é o único que satisfaz a propriedade (2.52), e será denotado por $\frac{1}{z}$, ou seja,

$$\begin{aligned} \frac{1}{z} &\doteq \left(\frac{x}{x^2 + y^2}, \frac{-y}{x^2 + y^2} \right) \\ &\stackrel{(2.34)}{=} \frac{x}{x^2 + y^2} + \frac{-y}{x^2 + y^2} \cdot i. \end{aligned} \quad (2.55)$$

8. a propriedade de não ter divisores de zero, isto é, se $z_1, z_2 \in \mathbb{C}$, satisfazem:

$$z_1 \cdot z_2 = 0, \quad \text{deveremos ter } z_1 = 0 \quad \text{ou} \quad z_2 = 0. \quad (2.56)$$

Demonstração:

Veja a demonstração 3.0.7 do capítulo 3.

□

Observação 2.2.1 Como consequência das propriedades da Proposição 2.2.1 acima, temos:

$$\begin{aligned} (x_1 + y_1 \cdot i) \cdot (x_2 + y_2 \cdot i) &\stackrel{(2.48)}{=} x_1 \cdot x_2 + \underbrace{x_1 \cdot (y_2 \cdot i)} + \underbrace{(y_1 \cdot i) \cdot x_2} + \underbrace{(y_1 \cdot i) \cdot (y_2 \cdot i)} \\ &\stackrel{(2.47)}{=} x_1 \cdot x_2 + (x_1 \cdot y_2) \cdot i + y_1 \cdot \underbrace{(i \cdot x_2)} + \underbrace{[(y_1 \cdot i) \cdot y_2]} \cdot i \\ &\stackrel{(2.47)}{=} x_1 \cdot x_2 + (x_1 \cdot y_2) \cdot i + y_1 \cdot \underbrace{(i \cdot x_2)} + \underbrace{[y_1 \cdot (i \cdot y_2)]} \cdot i \\ &\stackrel{(2.45)}{=} x_1 \cdot x_2 + (x_1 \cdot y_2) \cdot i + \underbrace{y_1 \cdot (x_2 \cdot i)} + \underbrace{[y_1 \cdot (y_2 \cdot i)]} \cdot i \\ &\stackrel{(2.47)}{=} x_1 \cdot x_2 + (x_1 \cdot y_2) \cdot i + (y_1 \cdot x_2) \cdot i + \underbrace{[(y_1 \cdot y_2) \cdot i]} \cdot i \\ &\stackrel{(2.47)}{=} x_1 \cdot x_2 + (x_1 \cdot y_2) \cdot i + (y_1 \cdot x_2) \cdot i + \underbrace{[(y_1 \cdot y_2) \cdot i]} \cdot i \\ &\stackrel{(2.47)}{=} x_1 \cdot x_2 + (x_1 \cdot y_2) \cdot i + (y_1 \cdot x_2) \cdot i + (y_1 \cdot y_2) \cdot (i \cdot i) \\ &\stackrel{(2.35)}{=} x_1 \cdot x_2 + (x_1 \cdot y_2) \cdot i + (y_1 \cdot x_2) \cdot i + y_1 \cdot y_2 \cdot (-1) \\ &\stackrel{(2.44)}{=} \stackrel{(2.48)}{=} (x_1 x_2 - y_1 y_2) + (x_1 \cdot y_2 + y_1 \cdot x_2) \cdot i, \end{aligned}$$

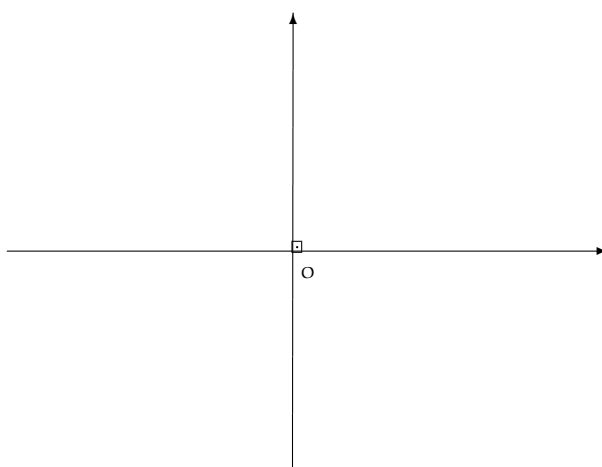
que a expressão obtida em (2.38).

2.3 Representação geométrica de um número complexo

Como um número complexo é um par ordenado formado por números reais, ou seja, pertence a \mathbb{R}^2 , e os elementos deste último podem ser representados em um plano geométrico, ou seja, existe uma correspondência biunívoca e sobrejetora entre o conjunto formado pelos números complexos, ou seja, o conjunto \mathbb{C} , e os pontos de um plano geométrico.

Para isto basta, por exemplo, fixarmos duas retas perpendiculares em um plano (veja a figura abaixo).

Denotemos por O o ponto de interseção das retas perpendiculares consideradas acima (veja a figura abaixo).



Suponhamos que as duas retas sejam retas numeradas (ou seja, cada uma delas esta em uma relação biunívoca e sobrejetora com o conjunto dos números reais, ou seja, \mathbb{R} , sendo considerada a mesma sobre as duas retas - veja a figura abaixo).

Dado um número complexo $z = (x, y) \in \mathbb{C}$, podemos associar ao número real x um ponto, que denotaremos por X , sobre uma das retas perpendiculares (que escolheremos ser a reta horizontal na figura acima).

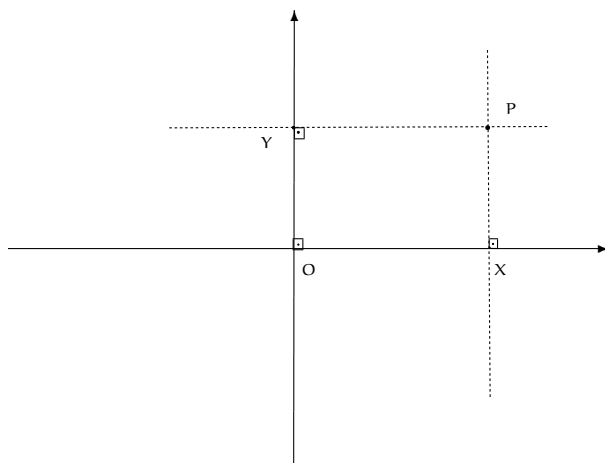
De modo semelhantes, podemos associar ao número real y um ponto, que indicaremos por Y , sobre a outra reta perpendicular (que será reta vertical na figura acima).

Consideremos o ponto P obtido da intersecção das retas perpendiculares às retas \overleftrightarrow{OX} e \overleftrightarrow{OY} , que contém os pontos X e Y , respectivamente (veja figura abaixo).

Neste caso, denotando-se o comprimento do segmento \overline{AB} por AB , teremos:

$$OX = x$$

$$OY = y.$$



Desta forma podemos associar a cada elemento z do conjunto \mathbb{C} um ponto P do plano (numérico), bijectivamente.

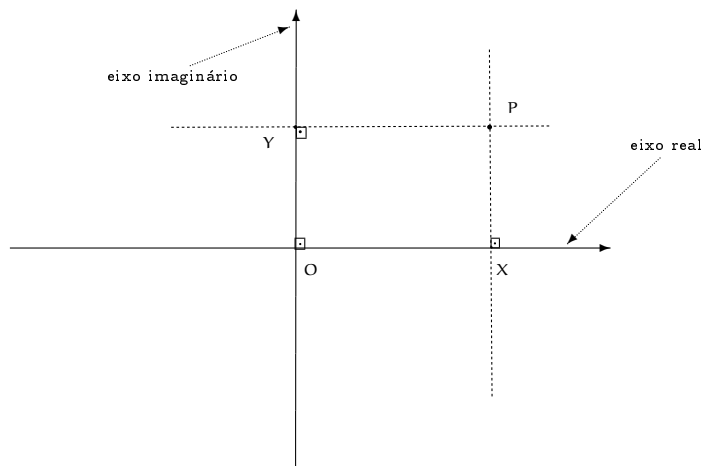
Neste caso, escreveremos

$$\begin{aligned} P &= z \\ &= (x, y) \\ &\stackrel{(2.34)}{=} x + y \cdot i. \end{aligned} \tag{2.57}$$

Denominaremos o plano (numérico) acima, de plano complexo ou z-plano.

A reta horizontal considerada acima, será dita eixo real (veja a figura abaixo).

Por outro lado, a reta vertical considerada acima, será dita eixo imaginário (veja a figura abaixo).



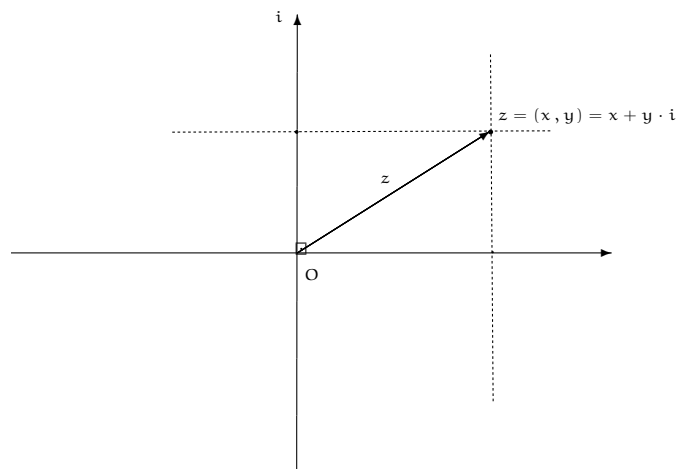
Por absudo de notação, denotaremos o eixo imaginário por i .

Com estas identificações acima, o número complexo

$$\begin{aligned} z &= (x, y) \\ &= x + y \cdot i \in \mathbb{C} \end{aligned}$$

poderá ser representado pelo vetor \overrightarrow{OP} .

Portanto, daqui em diante, um número complexo pode ser identificado com um ponto do plano (numérico) ou com um vetor do plano (veja figura abaixo).



Observação 2.3.1

1. Notemos que o produto de dois números complexos é um número complexo (veja a Definição 2.1.2), ou seja, um par ordenado formado por dois números reais que, com identificação acima, será um vetor do plano complexo.

Portanto este produto (dado por (2.3)), nada tem a ver com o produto escalar estudado na Geometria Analítica.

Esta é uma das diferenças entre o espaço euclidiano bidimensional, ou seja, \mathbb{R}^2 , e o conjunto formado pelos números complexos, isto é, \mathbb{C} .

2. Notemos que, com a identificação introduzida acima, a soma de dois números complexos pode ser interpretada, geometricamente, como a soma de vetores do plano.

Considerando-se

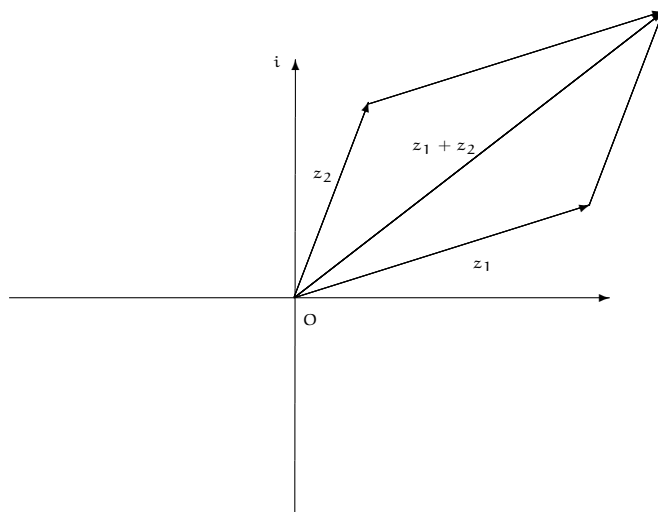
$$z_1 = x_1 + y_1 \cdot i$$

$$\text{e } z_2 = x_2 + y_2 \cdot i,$$

da Proposição 2.1.3 (veja (2.36)), temos que

$$z_1 + z_2 = (x_1 + x_2) + (y_1 + y_2) \cdot i$$

e assim, no plano complexo, teremos a seguinte situação geométrica:

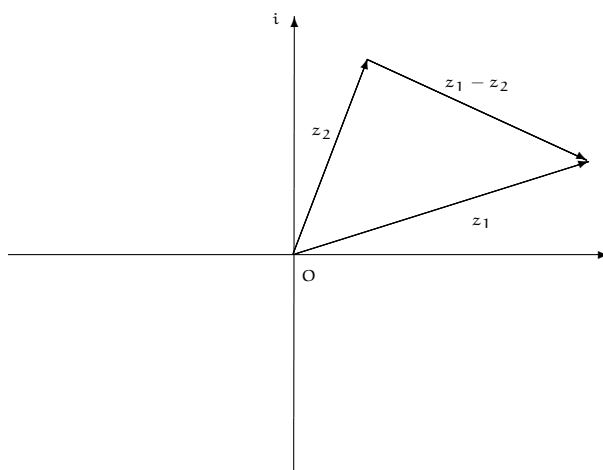


Logo, a soma de dois números complexos pode ser interpretada geometricamente, como a soma de dois vetores no plano.

3. De modo semelhante, da Proposição 2.1.4 (veja (2.37)), temos que

$$z_1 - z_2 = (x_1 - x_2) + (y_1 - y_2) \cdot i$$

e assim, no plano complexo, teremos a seguinte situação geométrica:



Logo, a diferença de dois números complexos pode ser interpretada geometricamente, como a diferença de dois vetores no plano.

4. Mais adiante (veja a seção 2.6) daremos uma caracterização geométrica no plano complexo semelhante às acima, para o produto de dois números complexos.

2.4 Conjugado de um número complexo

Começaremos introduzindo a:

Definição 2.4.1 *Seja*

$$\begin{aligned} z &= (x, y) \\ &\stackrel{(2.34)}{=} x + y \cdot i \in \mathbb{C}. \end{aligned} \quad (2.58)$$

Definimos o conjugado do número complexo z , indicado por \bar{z} , como sendo o seguinte número complexo:

$$\begin{aligned} \bar{z} &\doteq (x, -y) \\ &\stackrel{(2.34)}{=} x - y \cdot i. \end{aligned} \quad (2.59)$$

Para ilustrar, temos o:

Exemplo 2.4.1 *Encontre os conjugados dos seguintes números complexos:*

$$\begin{aligned} z_1 &\doteq (2, 3) \\ e \quad z_2 &\doteq 3 - \pi \cdot i. \end{aligned} \quad (2.60)$$

Resolução:

Veja a resolução 4.0.2 do capítulo 4.

□

Observação 2.4.1

1. Com a Definição 2.4.1, podemos introduzir a função

$$\bar{\cdot} : \mathbb{C} \rightarrow \mathbb{C},$$

dada por:

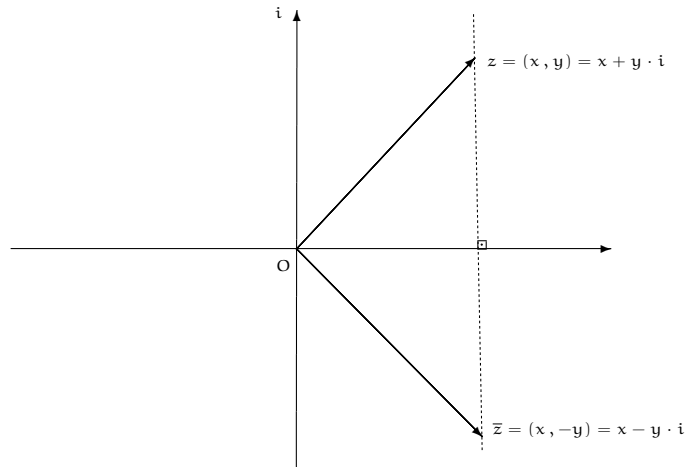
$$\bar{\cdot}(z) \doteq \bar{z}, \quad \text{para cada } z \in \mathbb{C}, \quad (2.61)$$

denominada função conjugação ou, simplesmente, conjugação.

2. Dado

$$\begin{aligned} z &= (x, y) \\ &\stackrel{(2.34)}{=} x + y \cdot i \in \mathbb{C}, \end{aligned} \quad (2.62)$$

no plano complexo, o conjugado do número complexo z , ou seja, \bar{z} , corresponderá, geometricamente, a reflexão do ponto z , em relação ao eixo real do plano complexo, ou ainda, o ponto \bar{z} é o simétrico do ponto z , em relação ao eixo real do plano complexo (veja figura abaixo).



A seguir exibiremos algumas propriedades da operação de conjugação:

Proposição 2.4.1 *Sejam $z_1, z_2, z_3 \in \mathbb{C}$, com $z_3 \neq 0$ e*

$$\begin{aligned} z &= (x, y) \\ &= x + y \cdot i \in \mathbb{C}. \end{aligned} \tag{2.63}$$

Então teremos:

$$\overline{z_1 + z_2} = \overline{z_1} + \overline{z_2} \tag{2.64}$$

$$\overline{z_1 - z_2} = \overline{z_1} - \overline{z_2} \tag{2.65}$$

$$\overline{z_1 \cdot z_2} = \overline{z_1} \cdot \overline{z_2} \tag{2.66}$$

$$\overline{\begin{pmatrix} z_1 \\ z_3 \end{pmatrix}} = \begin{pmatrix} \overline{z_1} \\ \overline{z_3} \end{pmatrix}, \tag{2.67}$$

$$\overline{\overline{z}} = z, \tag{2.68}$$

$$\overline{\overline{x}} = x, \tag{2.69}$$

$$z + \overline{z} = 2\Re(z), \tag{2.70}$$

$$z - \overline{z} = 2\Im(z) \cdot i, \tag{2.71}$$

$$z \cdot \overline{z} = x^2 + y^2. \tag{2.72}$$

Demonstração:

Veja a demonstração 3.0.8 do capítulo 3.

□

2.5 Valor absoluto ou módulo de um número complexo

Iniciaremos com a:

Definição 2.5.1 *Seja*

$$\begin{aligned} z &= (x, y) \\ &\stackrel{(2.34)}{=} x + y \cdot i \in \mathbb{C}. \end{aligned} \quad (2.73)$$

Definimos o valor absoluto (ou módulo) do número complexo z , indicado por $|z|$, como sendo o seguinte número real:

$$|z| \doteq \sqrt{x^2 + y^2}. \quad (2.74)$$

Observação 2.5.1 *Notemos que o módulo, introduzido na Definição 2.5.1, do número complexo*

$$z = (x, y)$$

pode ser olhado como a norma do vetor

$$\vec{v} \doteq (x, y)$$

que é definido por

$$\|\vec{v}\| = \sqrt{x^2 + y^2}.$$

Para ilustrar temos o:

Exemplo 2.5.1 *Encontre o valor absoluto do seguinte número complexo:*

$$\begin{aligned} z &\doteq (3, -\pi) \\ &= 3 - \pi \cdot i. \end{aligned} \quad (2.75)$$

Resolução:

Veja a resolução 4.0.3 do capítulo 4.

□

Observação 2.5.2

1. *Com a Definição 2.5.1, podemos introduzir a função*

$$|\cdot|: \mathbb{C} \rightarrow \mathbb{C},$$

dada por:

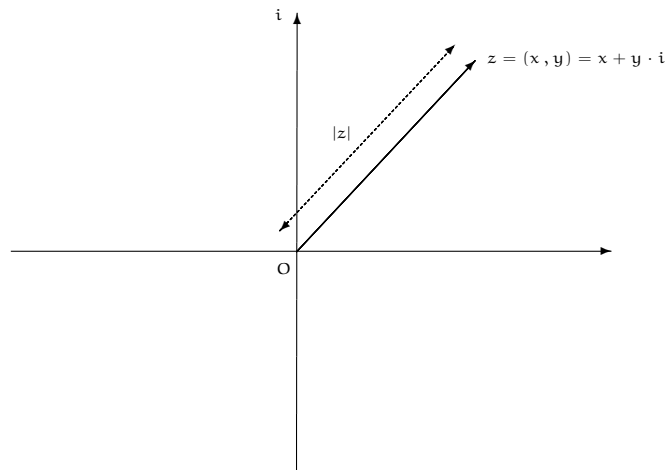
$$|\cdot|(z) \doteq |z|, \quad \text{para cada } z \in \mathbb{C}, \quad (2.76)$$

denominada função valor absoluto (ou módulo).

2. Dado

$$\begin{aligned}
 z &= (x, y) \\
 &\stackrel{(2.34)}{=} x + y \cdot i \in \mathbb{C},
 \end{aligned}
 \tag{2.77}$$

no plano complexo, o valor absoluto (ou módulo) do número complexo \underline{z} , ou seja, $|\underline{z}|$, corresponderá, geometricamente no plano complexo, a distância do ponto z ao ponto \underline{O} , ou ainda, ao comprimento do vetor \underline{z} (veja a figura abaixo).



3. Dados

$$\begin{aligned}
 z_1 &= (x_1, y_1) \\
 &\stackrel{(2.34)}{=} x_1 + y_1 \cdot i \in \mathbb{C},
 \end{aligned}
 \tag{2.78}$$

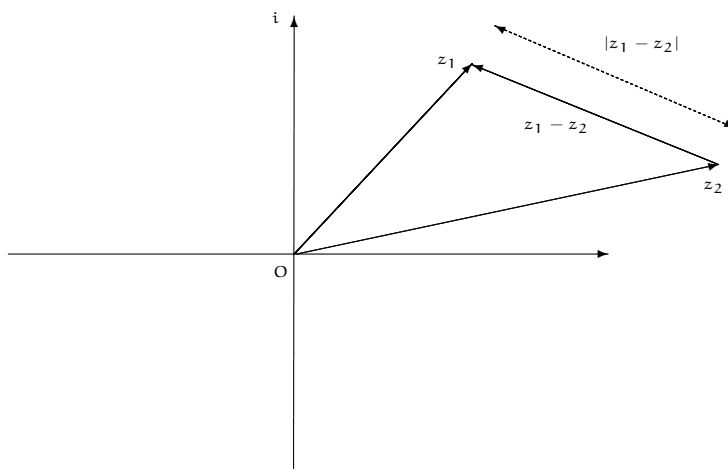
e

$$\begin{aligned}
 z_2 &= (x_2, y_2) \\
 &\stackrel{(2.34)}{=} x_2 + y_2 \cdot i \in \mathbb{C},
 \end{aligned}
 \tag{2.79}$$

no plano complexo, do item 3. da Observação 2.3.1 e do item 2. acima, segue que

$$|z_1 - z_2| \stackrel{(2.78), (2.79), (2.36) \text{ e } (2.74)}{=} \sqrt{(x_1 - x_2)^2 + (y_1 - y_2)^2},
 \tag{2.80}$$

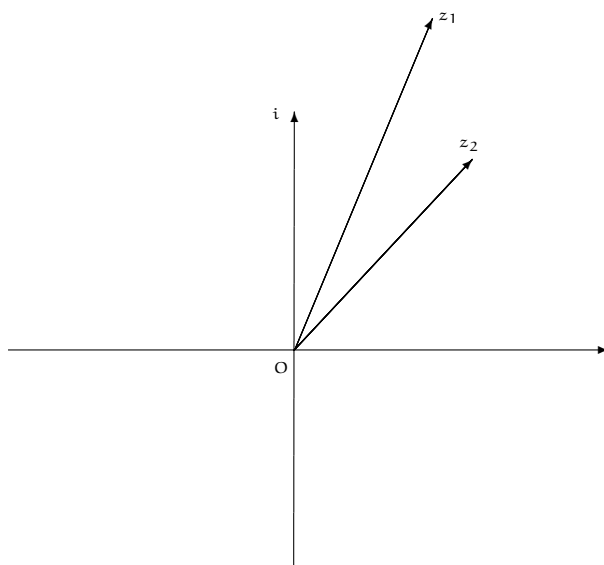
que corresponde a distância euclidiana do ponto z_1 ao ponto z_2 , no plano complexo, ou ainda, o comprimento do vetor $z_1 - z_2$ (visto na Geometria Analítica - veja a figura abaixo).



4. Na situação do item 3. acima, notamos que se

$$|z_2| < |z_1|, \quad (2.81)$$

então, no plano complexo, isto significa que o ponto \underline{z}_1 "está mais distante" do ponto \underline{O} , do que o ponto \underline{z}_2 (veja a figura abaixo)



5. Sejam $a \in (0, \infty)$ e $z_0 \in \mathbb{C}$.

Do item 3. acima segue que, o conjunto

$$\mathcal{C} \doteq \{z \in \mathbb{C}; |z - z_0| = a\}, \quad (2.82)$$

no plano complexo, terá como representação geométrica, a circunferência de centro no ponto \underline{z}_0 e de raio \underline{a} .

De fato, pois se

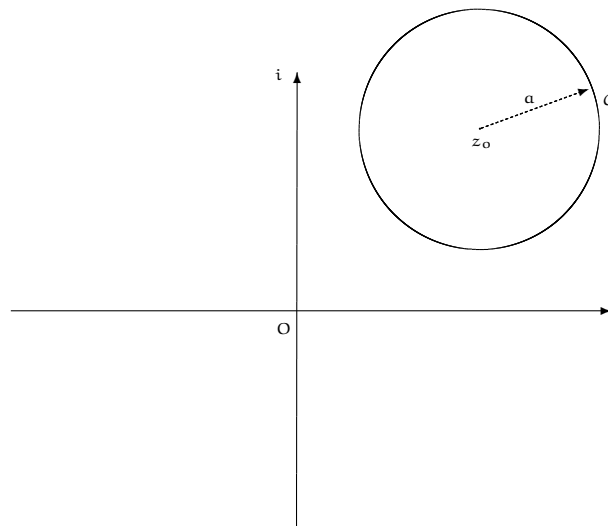
$$\begin{aligned} z_0 &= (x_0, y_0) \\ &\stackrel{(2.34)}{=} x_0 + y_0 \cdot i \\ e \\ z &= (x, y) \\ &\stackrel{(2.34)}{=} x + y \cdot i, \end{aligned} \tag{2.83}$$

é tal que $z \in C$ se, e somente se,

$$\begin{aligned} a &= |z - z_0| \\ &\stackrel{(2.83) \text{ e } (2.80)}{=} \sqrt{(x - x_0)^2 + (y - y_0)^2}, \\ \text{ou seja, } & (x - x_0)^2 + (y - y_0)^2 = a^2, \end{aligned} \tag{2.84}$$

que é a equação da circunferência de centro no ponto $\underline{z_0}$ e de raio \underline{a} .

A figura abaixo é representação geométrica do conjunto C .



6. Na situação do item 5. acima, novamente do item 3., segue que, o conjunto

$$B \doteq \{z \in \mathbb{C}; |z - z_0| < a\}, \tag{2.85}$$

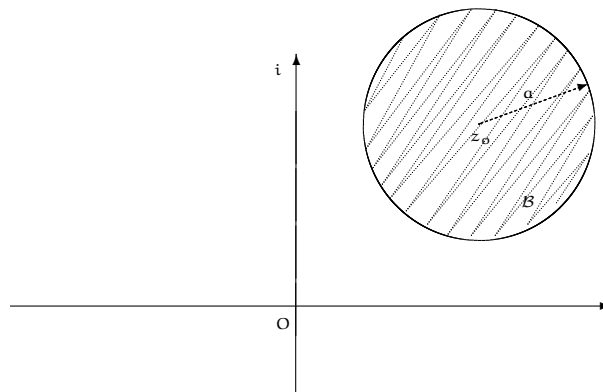
no plano complexo, terá como representação geométrica, a região interior de uma circunferência, de centro no ponto $\underline{z_0}$ e de raio \underline{a} .

Utilizando as notações do item 5. acima, temos que $z \in B$ se, e somente se,

$$\begin{aligned} a &> |z - z_0| \\ &\stackrel{(2.83) \text{ e } (2.80)}{=} \sqrt{(x - x_0)^2 + (y - y_0)^2}, \\ \text{ou seja, } & a^2 > (x - x_0)^2 + (y - y_0)^2, \end{aligned} \tag{2.86}$$

que nos fornece geometricamente no plano complexo a região interior de uma circunferência, de centro no ponto $\underline{z_0}$ e de raio \underline{a} .

A figura abaixo é representação geométrica do conjunto B .



7. Na situação do item 5. acima, novamente do item 3., segue que, o conjunto

$$\mathcal{D} \doteq \{z \in \mathbb{C}; |z - z_0| > a\}, \quad (2.87)$$

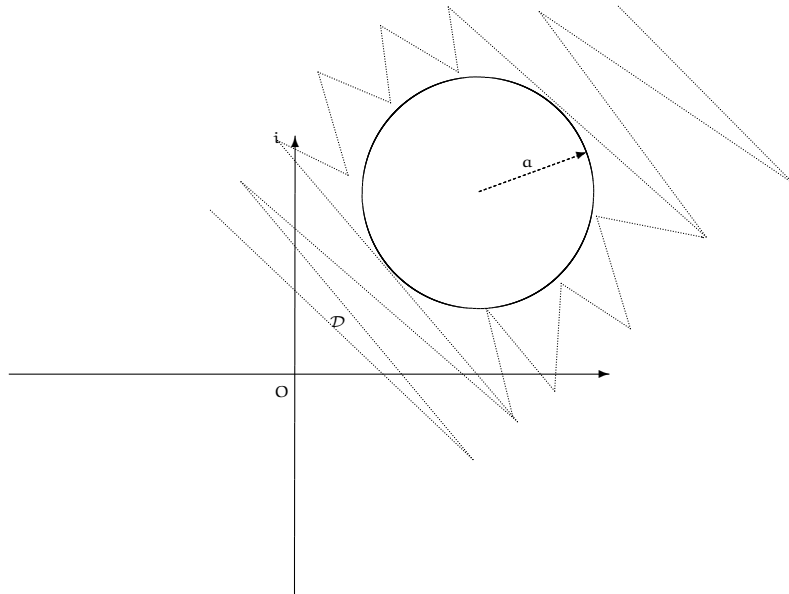
no plano complexo, terá como representação geométrica, a região exterior de uma circunferência, de centro no ponto \underline{z}_0 e de raio \underline{a} .

Utilizando as notações do item 5. acima, temos que $z \in \mathcal{B}$ se, somente se,,

$$\begin{aligned} a &< |z - z_0| \\ &\stackrel{(2.83)}{=} \stackrel{(2.80)}{=} \sqrt{(x - x_0)^2 + (y - y_0)^2}, \\ \text{ou seja,} \quad a^2 &< (x - x_0)^2 + (y - y_0)^2, \end{aligned} \quad (2.88)$$

que nos fornece geometricamente no plano complexo a região exterior de uma circunferência, de centro no ponto \underline{z}_0 e de raio \underline{a} .

A figura abaixo é representação geométrica do conjunto \mathcal{C} .



Deixaremos para o leitor a resolução do:

Exercício 2.5.1 *Encontrar e representar geometricamente no plano complexo, cada umas das regiões abaixo, que são dadas por:*

$$\begin{aligned} \mathcal{A} &\doteq \{z \in \mathbb{C}; |z - i| = 4\}, & \mathcal{B} &\doteq \{z \in \mathbb{C}; |z - i| < 4\}, & \mathcal{C} &\doteq \{z \in \mathbb{C}; |z - i| > 4\}, \\ \mathcal{D} &\doteq \{z \in \mathbb{C}; \Re(z) = 2\}, & \mathcal{E} &\doteq \{z \in \mathbb{C}; \Re(z) < 2\}, & \mathcal{F} &\doteq \{z \in \mathbb{C}; \Re(z) > 2\}, \\ \mathcal{G} &\doteq \{z \in \mathbb{C}; \Im(z) = 5\}, & \mathcal{H} &\doteq \{z \in \mathbb{C}; \Im(z) < 5\}, & \mathcal{I} &\doteq \{z \in \mathbb{C}; \Im(z) > 5\}, \\ \mathcal{J} &\doteq \{z \in \mathbb{C}; z = \bar{z}\}, & \mathcal{K} &\doteq \{z \in \mathbb{C}; z + \bar{z} = 0\}. \end{aligned}$$

□

Para finalizar esta seção temos as seguinte propriedades para o valor absoluto de números complexos:

Proposição 2.5.1 *Seja $z, z_1, z_2, z_3 \in \mathbb{C}$, com $z_3 \neq 0$.*

1. Temos que:

$$|z|^2 = [\Re(z)]^2 + [\Im(z)]^2, \quad (2.89)$$

$$\begin{aligned} |z| &\geq |\Re(z)| \\ &\geq \Re(z), \end{aligned} \quad (2.90)$$

$$\begin{aligned} |z| &\geq |\Im(z)| \\ &\geq \Im(z), \end{aligned} \quad (2.91)$$

$$z \cdot \bar{z} = |z|^2, \quad (2.92)$$

$$|\bar{z}| = |z|, \quad (2.93)$$

$$|z_1 \cdot z_2| = |z_1| |z_2|, \quad (2.94)$$

$$\left| \frac{z_1}{z_3} \right| = \frac{|z_1|}{|z_3|}, \quad (2.95)$$

$$|z_1 + z_2| \leq |z_1| + |z_2|, \quad (2.96)$$

$$|z_1 - z_2| \geq |z_1| - |z_2|. \quad (2.97)$$

2. Além disso,

$$|z| = 0 \quad \text{se, e somente,} \quad z = 0.$$

3. Finalmente, se $z = x + i \cdot y$, então

$$|z| \leq |x| + |y|,$$

onde, para $a \in \mathbb{R}$, temos que

$$|a| \doteq \sqrt{a^2}. \quad (2.98)$$

Demonstração:

Veja a demonstração 3.0.9 do capítulo 3. □

Podemos utilizar as noções de conjugado e módulo de números complexos para escrever o quociente de dois números complexos, do seguinte modo:

Proposição 2.5.2 *Sejam $z_1, z_2 \in \mathbb{C}$ tal que $z_2 \neq 0$.*

Então

$$\begin{aligned} \frac{z_1}{z_2} &= \left(\frac{x_1 x_2 + y_1 y_2}{|z_2|^2}, \frac{y_1 x_2 - x_1 y_2}{|z_2|^2} \right) \\ &= \frac{x_1 x_2 + y_1 y_2}{|z_2|^2} + \frac{y_1 x_2 - x_1 y_2}{|z_2|^2} \cdot i, \end{aligned} \quad (2.99)$$

Demonstração:

Veja a demonstração 3.0.10 do capítulo 3. □

2.6 Forma polar de um número complexo

Notemos que se

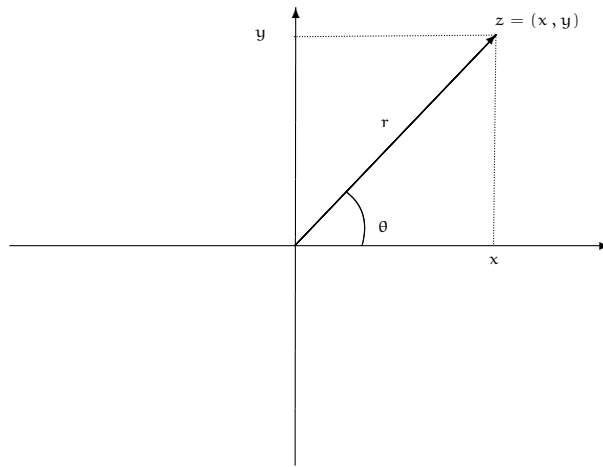
$$z = x + i \cdot y \in \mathbb{C} \setminus \{0\},$$

podemos encontrar $r > 0$ e $\theta \in \mathbb{R}$, tais que

$$x = r \cos(\theta) \quad (2.100)$$

$$\text{e } y = r \operatorname{sen}(\theta). \quad (2.101)$$

Para tanto basta utilizar coordenadas polares no plano complexo (ou seja, em \mathbb{R}^2). A figura abaixo ilustra a situação desfrida acima.



Observação 2.6.1 *Observemos que, na situação acima, teremos*

$$\begin{aligned} z &= x + y \cdot i \\ &\stackrel{(2.100) \text{ e } (2.101)}{=} r \cos(\theta) + r \operatorname{sen}(\theta) \cdot i \\ &= r [\cos(\theta) + \operatorname{sen}(\theta) \cdot i] \end{aligned} \quad (2.102)$$

Com isto podemos introduzir a:

Definição 2.6.1 *A expressão (2.102) será dita forma polar do número complexo z .*

Observação 2.6.2

1. *A forma polar de um número complexo nada mais é que a representação de um elemento de \mathbb{R}^2 na forma polar (estudada em Geometria Analítica).*
2. *Lembremos que a função tangente, a saber,*

$$\operatorname{tg} : D \doteq \mathbb{R} \setminus \left\{ \frac{k\pi}{2}; , k \in \mathbb{Z} \right\} \rightarrow \mathbb{R},$$

dada por:

$$\operatorname{tg}(\theta) \doteq \frac{\operatorname{sen}(\theta)}{\operatorname{cos}(\theta)}, \quad \text{para cada } \theta \in D, \quad (2.103)$$

é π -periódica e admite função inversa, quando restrita a um intervalo conveniente (de comprimento π).

Por exemplo, se considerarmos

$$\operatorname{tg} : \left(-\frac{\pi}{2}, \frac{\pi}{2}\right) \rightarrow \mathbb{R},$$

segue que a ela será bijetora.

Logo admitirá função inversa, a saber, a função

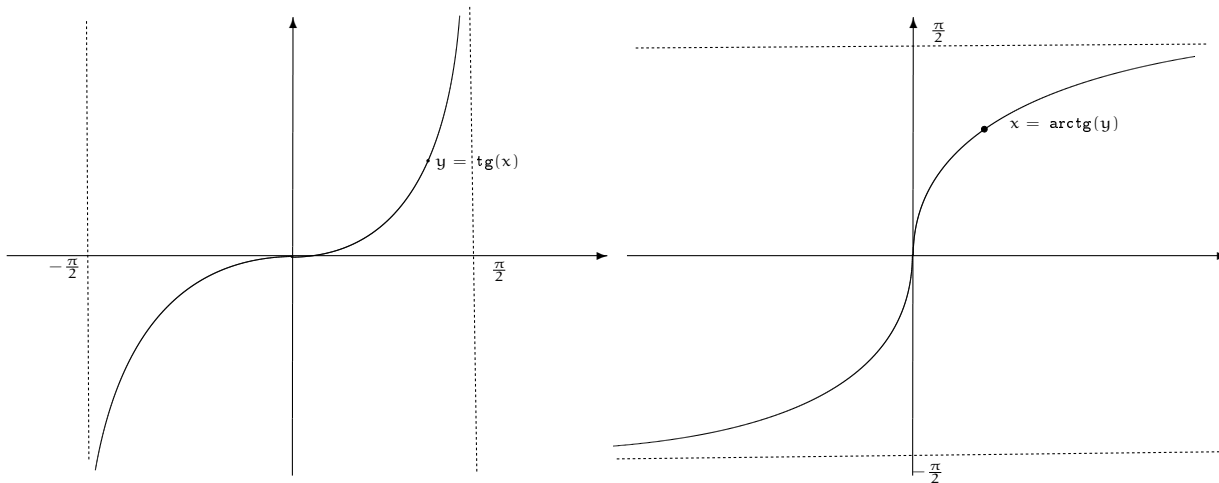
$$\operatorname{arctg} : \mathbb{R} \rightarrow \left(-\frac{\pi}{2}, \frac{\pi}{2}\right),$$

denominada arco-tangente.

Resumindo:

$$\begin{aligned} \operatorname{tg}(\operatorname{arctg}(x)) &= x, \quad \text{para cada } x \in \mathbb{R}, \\ \text{e } \operatorname{arctg}(\operatorname{tg}(\theta)) &= \theta, \quad \text{para cada } \theta \in \left(-\frac{\pi}{2}, \frac{\pi}{2}\right). \end{aligned}$$

3. As figuras abaixo ilustram as representações geométricas dos gráficos das duas funções consideradas acima.



4. Notemos que

$$\begin{aligned} r &= \sqrt{x^2 + y^2} \\ &\stackrel{(2.74)}{=} |z|. \end{aligned} \quad (2.104)$$

5. Temos também que:

$$\theta = \operatorname{arctg}\left(\frac{y}{x}\right), \quad \text{se } x \neq 0 \quad (2.105)$$

$$\theta = \frac{\pi}{2} + 2k\pi, \quad \text{se } x = 0 \text{ e } y > 0 \quad (2.106)$$

$$\theta = -\frac{\pi}{2} + 2k\pi, \quad \text{se } x = 0 \text{ e } y < 0 \quad (2.107)$$

Com isto podemos introduzir a:

Definição 2.6.2 *Um ângulo θ obtido acima, será denominado um argumento do número complexo z .*

O conjunto formado por todos os argumentos do número complexo z será denotado por $\arg(z)$.

Observação 2.6.3

1. Notemos que se $\theta \in \mathbb{R}$ é um argumento do número complexo z , para $k \in \mathbb{Z}$ teremos que

$$\theta + 2k\pi,$$

também será um argumento do número complexo z .

De fato, como

$$\cos(\theta + 2k\pi) = \cos(\theta) \quad (2.108)$$

$$\text{e } \operatorname{sen}(\theta + 2k\pi) = \operatorname{sen}(\theta), \quad (2.109)$$

teremos

$$\begin{aligned} r [\cos(\theta + 2k\pi) + \operatorname{sen}(\theta + 2k\pi) \cdot i] &\stackrel{(2.108) \text{ e } (2.109)}{=} r [\cos(\theta) + \operatorname{sen}(\theta) \cdot i] \\ &\stackrel{(2.102)}{=} z, \end{aligned} \quad (2.110)$$

mostrando que o ângulo $\theta + 2k\pi$ também será um argumento do número complexo z .

2. Logo, devido ao item acima, $\arg(z)$ é um subconjunto de \mathbb{R} , a saber:

$$\arg(z) \doteq \{\theta + 2k\pi; k \in \mathbb{Z}\}, \quad (2.111)$$

ou seja, $\arg(z)$ é multivalente, ou ainda, não é uma função, pois se

$$\theta \in \arg(z),$$

da Definição 2.6.2 e de (2.110), para cada $k \in \mathbb{Z}$, temos que

$$(\theta + 2k\pi) \in \arg(z).$$

3. Devido aos fatos acima, precisaremos restringir o domínio para que \arg torne-se uma função, a saber, qualquer intervalo de comprimento menor que 2π , mais explicitamente

$$(\theta, \theta + 2\pi] \quad \text{ou} \quad [\theta, \theta + 2\pi).$$

Em geral, consideramos o intervalo

$$\left(-\frac{\pi}{2}, \frac{\pi}{2}\right]. \quad (2.112)$$

Para ilustrar temos o:

Exemplo 2.6.1 Encontrar a forma polar do número complexo

$$z \doteq 2 - 2 \cdot i. \quad (2.113)$$

Resolução:

Veja a resolução 4.0.5 do capítulo 4.

□

Temos também a

Proposição 2.6.1 Suponhamos que a forma polar de um número complexo $z \neq 0$ é dada por

$$z = r [\cos(\theta) + i \cdot \text{sen}(\theta)]. \quad (2.114)$$

Então a forma polar do número complexo \bar{z} , será dada por:

$$\bar{z} = r [\cos(\theta) - i \cdot \text{sen}(\theta)]. \quad (2.115)$$

Demonstração:

Veja a demonstração 3.0.11 do capítulo 3.

□

Como consequência temos a:

Proposição 2.6.2 Suponhamos que $z \in \mathbb{C} \setminus \{0\}$.

Então

$$\arg(\bar{z}) = -\arg(z). \quad (2.116)$$

Demonstração:

Veja a demonstração 3.0.12 do capítulo 3.

□

Observação 2.6.4 Vale lembrar que $\arg(z)$ é um conjunto formado de infinitos valores distintos (veja (2.111)).

Logo a igualdade (2.116) acima é uma igualdade de conjuntos.

Um outro resultado importante é dado pela:

Proposição 2.6.3 *Suponhamos que os números complexos $z_1, z_2 \in \mathbb{C} \setminus \{0\}$, têm forma polar dadas por:*

$$\begin{aligned} z_1 &= r_1 [\cos(\theta_1) + i \cdot \text{sen}(\theta_1)], \\ e \quad z_2 &= r_2 [\cos(\theta_2) + i \cdot \text{sen}(\theta_2)]. \end{aligned} \quad (2.117)$$

Então

$$z_1 \cdot z_2 = r_1 r_2 [\cos(\theta_1 + \theta_2) + i \cdot \text{sen}(\theta_1 + \theta_2)]. \quad (2.118)$$

Demonstração:

Veja a demonstração 3.0.13 do capítulo 3. □

Podemos estender a Proposição 2.6.3 acima para o produto em um número finito de números complexos, mais precisamente temos o:

Corolário 2.6.1 *Suponhamos que para cada $j \in \{1, 2, \dots, n\}$, temos que o número complexo $z_j \in \mathbb{C} \setminus \{0\}$, tem forma polar do número complexo dada por*

$$z_j \doteq r_j [\cos(\theta_j) + i \cdot \text{sen}(\theta_j)]. \quad (2.119)$$

Então

$$\begin{aligned} z_1 \cdot z_2 \cdots z_n &= r_1 r_2 \cdots r_n [\cos(\theta_1 + \theta_2 + \cdots + \theta_n) + i \cdot \text{sen}(\theta_1 + \theta_2 + \cdots + \theta_n)], \\ \text{ou ainda, } \prod_{j=1}^n z_j &= \prod_{j=1}^n r_j \left[\cos \left(\sum_{j=1}^n \theta_j \right) + i \cdot \text{sen} \left(\sum_{j=1}^n \theta_j \right) \right]. \end{aligned} \quad (2.120)$$

Demonstração:

A demonstração pode ser feita utilizando-se a Proposição 2.6.3 e indução sobre $n \in \{2, 3, \dots\}$.

Deixaremos os detalhes como exercício para o leitor. □

Também como consequência Proposição 2.6.3 temos o:

Corolário 2.6.2 *Suponhamos que $z_1, z_2 \in \mathbb{C} \setminus \{0\}$.*

Então

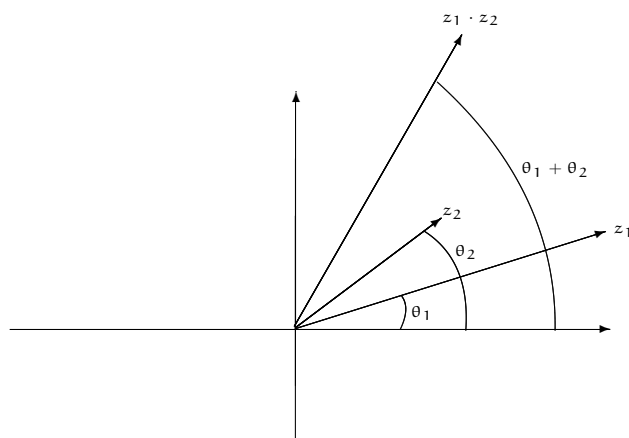
$$\arg(z_1 \cdot z_2) = \arg z_1 + \arg(z_2). \quad (2.121)$$

Demonstração:

Veja a demonstração 3.0.14 do capítulo 3. □

Observação 2.6.5

1. Geometricamente, o Corolário 2.6.2 acima, pode ser interpretada pela figura abaixo.



2. Em particular, se $z \in \mathbb{C} \setminus \{0\}$, do Corolário 2.6.2, o produto

$$i \cdot z$$

pode ser obtido, geometricamente, rotacionando-se o vetor z , no sentido anti-horário, de um ângulo reto, sem alterar o seu comprimento.

De fato

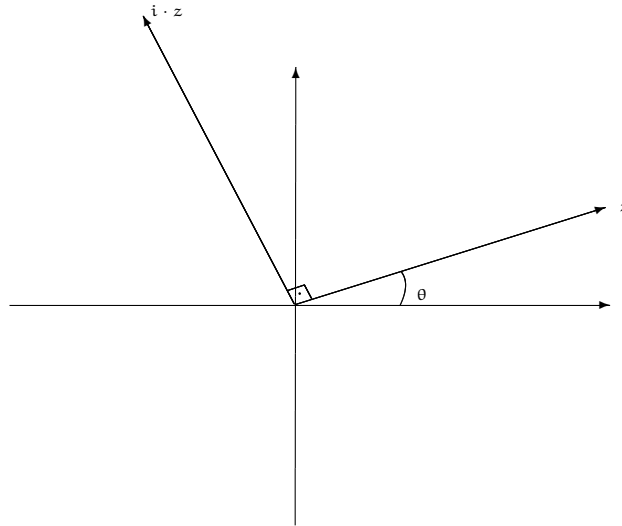
$$\text{se } z = r [\cos(\theta) + i \cdot \text{sen}(\theta)] ,$$

teremos:

$$\begin{aligned} i \cdot z &= \left[\cos\left(\frac{\pi}{2}\right) + i \cdot \text{sen}\left(\frac{\pi}{2}\right) \right] \cdot \{r [\cos(\theta) + i \cdot \text{sen}(\theta)]\} \\ &\stackrel{(3.83)}{=} 1 \cdot r \left[\cos\left(\theta + \frac{\pi}{2}\right) + i \cdot \text{sen}\left(\theta + \frac{\pi}{2}\right) \right] \\ &= r \left[\cos\left(\theta + \frac{\pi}{2}\right) + i \cdot \text{sen}\left(\theta + \frac{\pi}{2}\right) \right] , \end{aligned}$$

que corresponde, geometricamente, a rotacionar o vetor z , de um ângulo de $\frac{\pi}{2}$ radianos, no sentido anti-horário (dito, sentido positivo).

A figura abaixo ilustra a situação acima.



Podemos estender o Corolário 2.6.2 acima, para um número finito de números complexos, mais precisamente temos o

Corolário 2.6.3 *Suponhamos que para cada $j \in \{1, 2, \dots, n\}$, temos que o número complexo $z_j \in \mathbb{C} \setminus \{0\}$, tem forma polar do número complexo dada por*

$$z_j \doteq r_j [\cos(\theta_j) + i \cdot \text{sen}(\theta_j)] . \quad (2.122)$$

Então

$$\arg(z_1 \cdot z_2 \cdots z_n) = \arg(z_1) + \arg(z_2) + \cdots + \arg(z_n) . \quad (2.123)$$

Demonstração:

A demonstração pode ser obtida utilizando-se o Corolário 2.6.2 e indução sobre $n \in \{2, 3, \dots\}$.

Deixaremos os detalhes como exercício para o leitor.

□

Como consequência do Corolário 2.6.1, temos o:

Corolário 2.6.4 *Suponhamos que o número complexo $z \in \mathbb{C} \setminus \{0\}$ tem forma polar dada por*

$$z \doteq r [\cos(\theta) + i \cdot \text{sen}(\theta)] . \quad (2.124)$$

Então, para cada $n \in \mathbb{N}$ fixado, teremos

$$z^n = r^n [\cos(n\theta) + i \cdot \text{sen}(n\theta)] . \quad (2.125)$$

e como consequência:

$$\arg(z^n) = n \arg(z) . \quad (2.126)$$

Demonstração:

Veja a demonstração 3.0.15 do capítulo 3.

□

Como consequência do Corolário 2.6.4, temos o importante resultado:

Corolário 2.6.5 *Sejam $z \in \mathbb{C}$, tal que*

$$|z| = 1 \quad (2.127)$$

$$\text{ou seja, } z = \cos(\theta) + i \cdot \text{sen}(\theta) \quad (2.128)$$

e $n \in \mathbb{N}$ fixado.

Então

$$z^n = [\cos(n\theta) + i \cdot \text{sen}(n\theta)] , \quad (2.129)$$

denominada fórmula de De Moivre

Demonstração:

Veja a demonstração 3.0.16 do capítulo 3.

□

Temos também a

Proposição 2.6.4 *Sejam $z_1, z_2 \in \mathbb{C} \setminus \{0\}$ dois número complexos, cujas formas polares são dadas por:*

$$\begin{aligned} z_1 &= r_1 [\cos(\theta_1) + i \cdot \text{sen}(\theta_1)] , \\ z_2 &= r_2 [\cos(\theta_2) + i \cdot \text{sen}(\theta_2)] . \end{aligned} \quad (2.130)$$

Então

$$\frac{z_1}{z_2} = \frac{r_1}{r_2} [\cos(\theta_1 - \theta_2) + i \cdot \text{sen}(\theta_1 - \theta_2)] \quad (2.131)$$

e como consequência

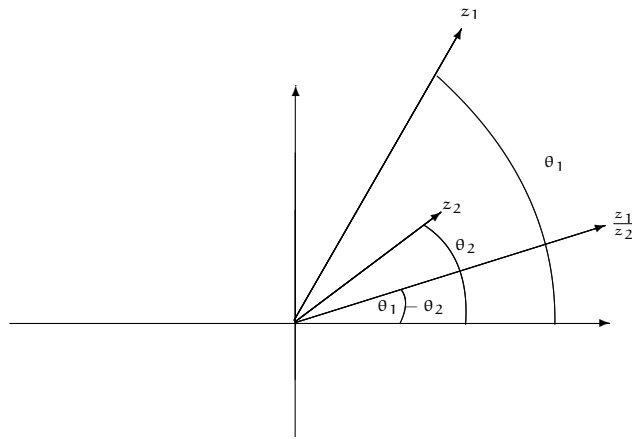
$$\arg\left(\frac{z_1}{z_2}\right) = \arg z_1 - \arg(z_2) . \quad (2.132)$$

Demonstração:

Veja a demonstração 3.0.17 do capítulo 3.

□

Observação 2.6.6 *Geometricamente, a Proposição 2.6.4 acima, pode ser interpretada pela figura abaixo.*



Como consequência da Proposição 2.6.4, temos o:

Corolário 2.6.6 *Suponhamos que o número complexo $z \in \mathbb{C} \setminus \{0\}$, tem forma polar dada por*

$$z = r [\cos(\theta) + i \cdot \text{sen}(\theta)]. \quad (2.133)$$

Então

$$\frac{1}{z} = \frac{1}{r} [\cos(\theta) - i \cdot \text{sen}(\theta)] \quad (2.134)$$

$$e \quad \arg\left(\frac{1}{z}\right) = -\arg(z). \quad (2.135)$$

Demonstração:

Veja a demonstração 3.0.18 do capítulo 3.

□

Podemos estender o Corolário 2.6.6, para a seguinte forma:

Corolário 2.6.7 *Suponhamos que o número complexo $z \in \mathbb{C} \setminus \{0\}$, tem forma polar dada por*

$$z = r [\cos(\theta) + i \cdot \text{sen}(\theta)], \quad (2.136)$$

e $n \in \mathbb{N}$ fixado.

Então

$$z^{-n} = \frac{1}{r^n} [\cos(n\theta) - i \cdot \text{sen}(n\theta)] \quad (2.137)$$

$$e \quad \arg(z^{-n}) = -n \arg(z). \quad (2.138)$$

Demonstração:

Veja a demonstração 3.0.19 do capítulo 3.

□

Observação 2.6.7 *Em algumas situações poderá ser útil utilizar uma representação de um número complexo z , na forma polar "em torno" de um ponto z_0 , mais precisamente,*

considerar uma representação na forma polar do número complexo

$$z - z_0,$$

ou seja, escrever

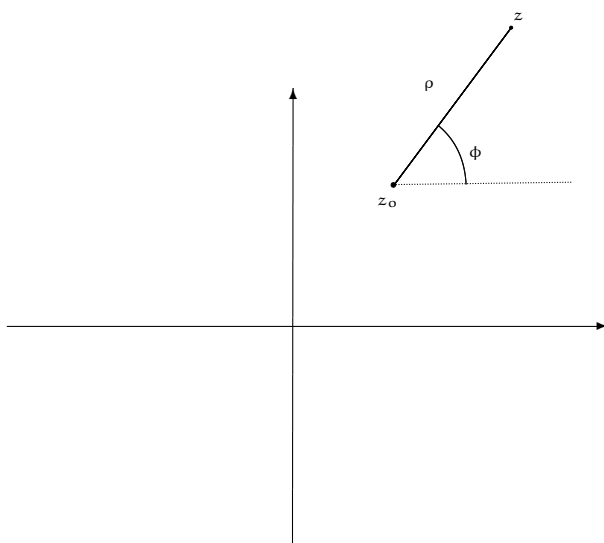
$$z - z_0 = \rho [\cos(\phi) + i \cdot \text{sen}(\phi)], \quad (2.139)$$

onde

$$\rho \doteq |z - z_0| \quad (2.140)$$

e $\phi \in \mathbb{R}$ denota o ângulo que a semireta $\overrightarrow{z_0 z}$ faz com a semi-reta paralela ao semi-eixo real positivo.

A figura abaixo ilustra a situação acima.



Para ilustrar temos o

Exemplo 2.6.2 *Obtenha, geometricamente, uma representação do conjunto formado por todas as soluções em \mathbb{C} , da equação*

$$z + i = 4 [\cos(\phi) + i \cdot \text{sen}(\phi)], \quad (2.141)$$

para $\phi \in [0, 2\pi]$.

Resolução:

Veja a resolução 4.0.5 do capítulo 4. □

2.7 Extração de raiz de número complexo

O objetivo central desta seção é, dado

$$z_* \in \mathbb{C} \setminus \{0\}$$

e $n \in \mathbb{N}$ fixado, encontrar todas as soluções $z \in \mathbb{C}$ da equação

$$z^n = z_*. \quad (2.142)$$

Observação 2.7.1

1. Para tanto, suponhamos que a forma polar do número complexo z_* , é dada por:

$$z_* = r_* [\cos(\theta_*) + i \cdot \text{sen}(\theta_*)] \quad (2.143)$$

e a forma polar do número complexo z , é dada por:

$$z = r [\cos(\theta) + i \cdot \text{sen}(\theta)]. \quad (2.144)$$

Logo, de (2.129), segue que

$$z^n = r^n [\cos(n\theta) + i \cdot \text{sen}(n\theta)]. \quad (2.145)$$

Logo, substituindo de (2.145) e (2.143) em (2.142), obteremos:

$$r^n [\cos(n\theta) + i \cdot \text{sen}(n\theta)] = r_* [\cos(\theta_*) + i \cdot \text{sen}(\theta_*)]. \quad (2.146)$$

Portanto deveremos ter:

$$\begin{aligned} r^n &= r_*, \\ \text{ou ainda, } (\sqrt[n]{} \text{ de números reais}) \quad r_* &= \sqrt[n]{r}, \end{aligned} \quad (2.147)$$

$$n\theta = \theta_* + 2k\pi, \quad \text{para cada } k \in \mathbb{Z},$$

$$\text{ou seja, } \theta_* = \frac{\theta}{n} - \frac{2k\pi}{n}, \quad \text{para cada } k \in \mathbb{Z}.$$

$$\text{Logo } \theta_k \doteq \theta_* = \frac{\theta}{n} + \frac{2m\pi}{n}, \quad \text{para cada } m \in \mathbb{Z}. \quad (2.148)$$

Deste modo, para cada $k \in \mathbb{Z}$, obtemos um número complexo z_k , dado por

$$z_k = \sqrt[n]{r_*} [\cos(\theta_k) + i \cdot \text{sen}(\theta_k)], \quad (2.149)$$

onde θ_k é dado por (2.148), que irá satisfazer a equação (2.142).

2. Notemos que se

$$\begin{aligned} k_1 - k_2 &= m n, \\ \text{ou seja, } k_1 &= k_2 + m n, \end{aligned} \quad (2.150)$$

teremos que

$$z_{k_1} = z_{k_2}, \quad (2.151)$$

De fato, pois

$$\begin{aligned}
 \theta_{k_1} &\stackrel{(2.148)}{=} \frac{\theta}{n} + \frac{2k_1\pi}{n} \\
 &\stackrel{(2.150)}{=} \frac{\theta}{n} + \frac{2(k_2 + m n)\pi}{n} \\
 &= \frac{\theta}{n} + \frac{2k_2\pi}{n} + 2m\pi, \tag{2.152}
 \end{aligned}$$

logo teremos:

$$\begin{aligned}
 z_{k_1} &\stackrel{(2.149)}{=} \stackrel{\text{com } k=k_1}{=} \sqrt[n]{r} [\cos(\theta_{k_1}) + i \cdot \text{sen}(\theta_{k_1})] \\
 &\stackrel{(2.152)}{=} \sqrt[n]{r_*} \left[\cos\left(\frac{\theta}{n} + \frac{2k_2\pi}{n} + 2m\pi\right) + i \cdot \text{sen}\left(\frac{\theta}{n} + \frac{2k_2\pi}{n} + 2m\pi\right) \right] \\
 &\stackrel{\text{cos e sen são } 2\pi\text{-periódicas}}{=} \sqrt[n]{r} \left[\cos\left(\frac{\theta}{n} + \frac{2k_2\pi}{n}\right) + i \cdot \text{sen}\left(\frac{\theta}{n} + \frac{2k_2\pi}{n}\right) \right] \\
 &= \sqrt[n]{r} [\cos(\theta_{k_2}) + i \cdot \text{sen}(\theta_{k_2})] \\
 &\stackrel{(2.149)}{=} \stackrel{\text{com } k=k_2}{=} z_{k_2},
 \end{aligned}$$

mostrando que (2.151) ocorre.

3. Devido ao fato acima, podemos encontrar, exatamente, n soluções distintas da equação (2.142), a saber:

$$z_* = z_k = \sqrt[n]{r} \left[\cos\left(\frac{\theta}{n} + \frac{2k\pi}{n}\right) + i \cdot \text{sen}\left(\frac{\theta}{n} + \frac{2k\pi}{n}\right) \right], \tag{2.153}$$

para $k \in \{0, 1, \dots, n-1\}$, ou seja,

$$z_k^n = z, \quad \text{para cada } k \in \{0, 1, \dots, n-1\}. \tag{2.154}$$

4. Notemos que, o módulo de todos os números complexos z_k , dados por (2.153), é $\sqrt[n]{r_*}$, ou seja,

$$|z_k| = \sqrt[n]{r}, \tag{2.155}$$

para todo $k \in \{0, 1, \dots, n-1\}$.

De fato, pois devido a (2.153), temos que:

$$\left| \cos\left(\frac{\theta}{n} + \frac{2k\pi}{n}\right) + i \cdot \text{sen}\left(\frac{\theta}{n} + \frac{2k\pi}{n}\right) \right| = 1.$$

5. Por outro lado, para cada $k \in \{0, 1, \dots, n-1\}$, o argumento do número complexo z_k , pode ser obtido por adição de k parcelas iguais a $\frac{2\pi}{n}$, à $\frac{\theta}{n}$ (veja (2.148), ou seja,

$$\arg(z_k) = \left\{ \frac{\theta}{n} + \frac{2k\pi}{n}; k \in \mathbb{Z} \right\}. \tag{2.156}$$

6. Notemos que as soluções complexas da equação (2.142) correspondem as raízes n -ésimas do número complexo z_* , ou seja, $z_*^n = z_*$.

Em particular, temos que $z_* (= z_*^{\frac{1}{n}})$ é multivalente (mais precisamente, possui n valores distintos), ou seja, não é uma função.

7. Geometricamente, para obtermos todos os valores complexos de

$$z_k, \quad \text{para cada } k \in \{0, 1, \dots, n-1\},$$

podemos agir da seguinte maneira:

Encontre a forma polar do número complexo $z \neq 0$, ou seja, (2.144).

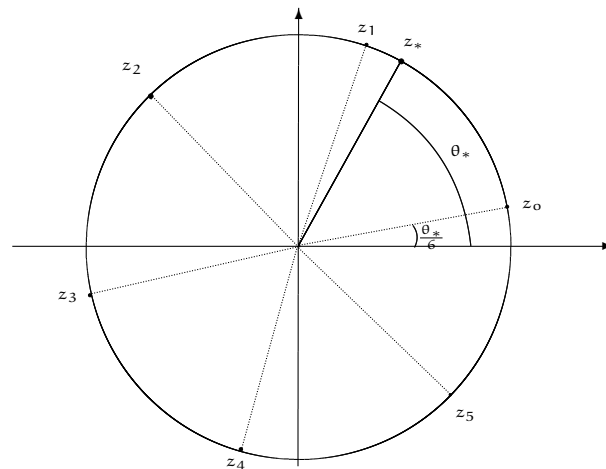
Represente, geometricamente, o número complexo z_* no plano complexo.

Trace uma circunferência, que denotaremos por C , de centro na origem O e raio igual a $|z| = r$.

Construa um polígono regular de n -lados, cujos vértices pertençam a circunferência C e de modo que o número complexo z_0 (ou seja, quando $k = 0$ em (2.153)) seja um dos vértices desse polígono regular.

Os vértices desse polígono serão todos os valores de $z^{\frac{1}{n}}$ (ou seja, todas as soluções da equação (2.142)).

A figura abaixo ilustra a situação descrita acima para o caso que $n = 6$.



Apliquemos as ideias acima ao:

Exemplo 2.7.1 Seja $n \in \mathbb{N}$ fixado. Encontrar todas as raízes n -ésimas da unidade 1, ou seja, todos os valores para $1^{\frac{1}{n}}$.

Resolução:

Veja a resolução 4.0.6 do capítulo 4.

□

Observação 2.7.2

1. Notemos que, definindo-se

$$\omega \doteq \cos\left(\frac{2\pi}{n}\right) + i \cdot \operatorname{sen}\left(\frac{2\pi}{n}\right), \quad (2.157)$$

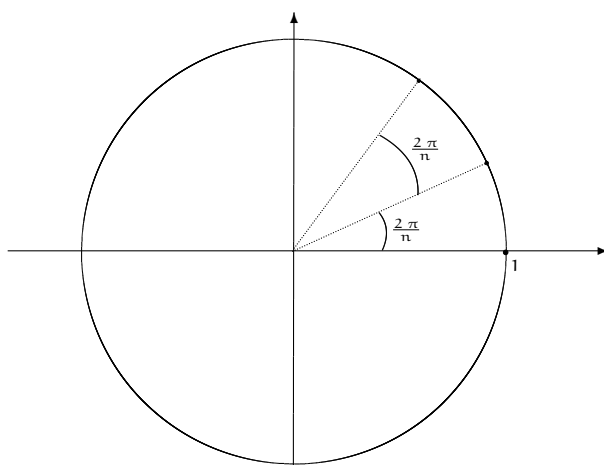
como consequência do Exemplo 2.7.1 e da fórmula de De Moivre (ou seja, (2.129)) teremos que as raízes da unidade, ou seja, todas as soluções da equação

$$z^n = 1, \quad (2.158)$$

serão da forma

$$1, \omega, \omega^2, \dots, \omega^{n-1} \quad (2.159)$$

2. Geometricamente, no plano complexo, temos a seguinte configuração para a situação acima.

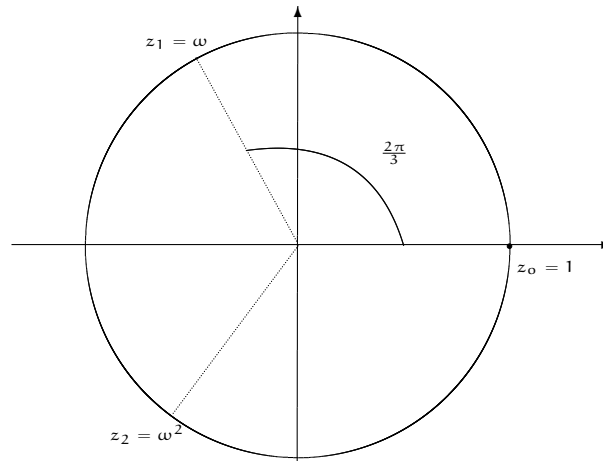


3. Se, por exemplo $n = 3$, teremos que as 3 raízes da unidade, ou seja, as soluções complexas da equação

$$z^3 = 1, \quad (2.160)$$

podem ser obtidas, geometricamente no plano complexo, como sendo os vértices de um triângulo equilátero, cujos vértices pertencem a circunferência centrada na origem O e raio igual a 1, sendo um desses vértices o ponto (1,0) (ou seja, o número complexo $z \doteq 1$).

A figura abaixo ilustra a situação descrita acima.



Analicamente, teremos, por (2.153) e (4.6) (com $n = 3$):

$$1^{\frac{1}{3}} = \sqrt[3]{r} \cos\left(\frac{\theta}{3} + \frac{2k\pi}{3}\right) + i \cdot \text{sen}\left(\frac{\theta}{3} + \frac{2k\pi}{3}\right)$$

$$\stackrel{(4.6) \text{ e } (4.7)}{=} \cos\left(\frac{2k\pi}{3}\right) + i \cdot \text{sen}\left(\frac{2k\pi}{3}\right),$$

para $k \in \{0, 1, 2\}$, ou seja,

$$k = 0, \quad \text{teremos: } 1^{\frac{1}{3}} = \cos(0) + i \cdot \text{sen}(0)$$

$$= 1,$$

$$k = 1, \quad \text{teremos: } 1^{\frac{1}{3}} = \cos\left(\frac{2\pi}{3}\right) + i \cdot \text{sen}\left(\frac{2\pi}{3}\right)$$

$$= -\frac{\sqrt{3}}{2} + i \cdot \frac{1}{2},$$

$$k = 2, \quad \text{teremos: } 1^{\frac{1}{3}} = \cos\left(\frac{4\pi}{3}\right) + i \cdot \text{sen}\left(\frac{4\pi}{3}\right)$$

$$= -\frac{\sqrt{3}}{2} - i \cdot \frac{1}{2},$$

serão todas as soluções complexas da equação (2.160), ou ainda, as 3 raízes cúbicas distintas, da unidade 1.

4. Notemos que, para cada $n \in \mathbb{N}$ fixado, a equação

$$z^n = 0$$

só admite a solução trivial, a saber,

$$z \doteq 0,$$

ou ainda

$$0^{\frac{1}{n}} = 0.$$

Para ilustrar temos o:

Exemplo 2.7.2 *Encontrar e representar geometricamente no plano complexo, todas as soluções complexas da equação*

$$z^6 = 1, \quad (2.161)$$

ou seja, todas as raízes sextas da unidade.

Resolução:

Veja a resolução 4.0.7 do capítulo 4. □

Para finalizar a seção temos a:

Proposição 2.7.1 *Sejam $m, n \in \mathbb{N}$, primos entre si e $z \in \mathbb{C} \setminus \{0\}$ cuja forma polar é dada por*

$$z = r [\cos(\theta) + i \cdot \text{sen}(\theta)]. \quad (2.162)$$

Então

$$(z^m)^{\frac{1}{n}} = \sqrt[n]{r^m} \left[\cos\left(\frac{m\theta}{n}\right) + i \cdot \text{sen}\left(\frac{m\theta}{n}\right) \right] \cdot \omega^k, \quad (2.163)$$

para cada $k \in \{0, 1, 2, \dots, n-1\}$, onde $\omega \in \mathbb{C}$ é dado por (2.157).

Em particular,

$$\arg(z^m)^{\frac{1}{n}} = \left\{ \frac{m\theta}{n} + 2k\pi; k \in \mathbb{Z} \right\}. \quad (2.164)$$

Demonstração:

Veja a demonstração 3.0.20 do capítulo 3. □

Para finalizar temos a:

Proposição 2.7.2 *Se $z \in \mathbb{C}^*$, temos:*

$$(z^m)^{\frac{1}{n}} = \left(z^{\frac{1}{n}}\right)^m. \quad (2.165)$$

Demonstração:

Veja a demonstração 3.0.21 do capítulo 3. □

Observação 2.7.3 *Baseado na Proposição 2.7.2 podemos definir a família de números complexos*

$$z^{\frac{m}{n}} \doteq (z^m)^{\frac{1}{n}} \quad (2.166)$$

$$\text{ou, por: } z^{\frac{m}{n}} \doteq \left(z^{\frac{1}{n}}\right)^m. \quad (2.167)$$

Lembremos que $z^{\frac{m}{n}}$ será multivalente, ou seja, não é função.

Mais explicitamente, $z^{\frac{m}{n}}$, pode ser dado:

$$\text{por: } z^{\frac{m}{n}} \stackrel{(2.166)}{=} \stackrel{(2.163)}{=} \sqrt[n]{r^m} \left[\cos\left(\frac{m\theta}{n}\right) + i \cdot \text{sen}\left(\frac{m\theta}{n}\right) \right] \cdot \omega^k \quad (2.168)$$

$$\text{ou, por: } z^{\frac{m}{n}} \stackrel{(2.167)}{=} \stackrel{(3.96)}{=} (\sqrt[n]{r})^m \left[\cos\left(\frac{m\theta}{n}\right) + i \cdot \text{sen}\left(\frac{m\theta}{n}\right) \right] \cdot \omega^k. \quad (2.169)$$

□

Capítulo 3

Demonstrações dos resultados

Demonstração 3.0.1 da Proposição 2.1.1:

Sejam

$$z_1 = (x_1, y_1), \quad (3.1)$$

$$\text{e } z_2 = (x_2, y_2). \quad (3.2)$$

Logo,

$$z_1 + z_2 \stackrel{(3.1), (3.2) \text{ e } (2.1)}{=} (x_1 + x_2, y_1 + y_2). \quad (3.3)$$

Desta forma teremos:

$$\begin{aligned} \Re[z_1 + z_2] &\stackrel{(2.10) \text{ e } (3.3)}{=} x_1 + x_2 \\ &\stackrel{(3.1), (3.2) \text{ e } (2.10)}{=} \Re[z_1] + \Re[z_2], \end{aligned}$$

mostrando a validade da identidade (2.16).

Também teremos:

$$\begin{aligned} \Im[z_1 + z_2] &\stackrel{(2.11) \text{ e } (3.3)}{=} y_1 + y_2 \\ &\stackrel{(3.1), (3.2) \text{ e } (2.11)}{=} \Im[z_1] + \Im[z_2], \end{aligned}$$

mostrando a validade da identidade (2.17), completando a demonstração.

□

Demonstração 3.0.2 da Proposição 2.1.2:

Sejam

$$z_1 = (x_1, y_1) \quad (3.4)$$

$$\text{e } z_2 = (x_2, y_2) \in \mathbb{C}, \quad (3.5)$$

$$\text{logo: } -z_2 \stackrel{(2.22)}{=} (-x_2, -y_2) \quad (3.6)$$

de (2.22)

$$\begin{aligned} z_1 - z_2 &\stackrel{(2.23)}{=} z_1 + (-z_2) \\ &\stackrel{(3.4), (3.6) \text{ e } (2.1)}{=} (x_1 + (-x_2), y_1 + (-y_2)) \\ &= (x_1 - x_2, y_1 - y_2), \end{aligned}$$

mostrando a validade de (2.27). □

Demonstração 3.0.3 da Proposição 2.1.3 :

Se

$$z_1 = (x_1, y_1) \tag{3.7}$$

$$\text{e } z_2 = (x_2, y_2) \in \mathbb{C}. \tag{3.8}$$

então, do item 3. da Observação 2.1.8, segue que:

$$z_1 \stackrel{(3.7) \text{ e } (2.34)}{=} x_1 + i \cdot y_1 \tag{3.9}$$

$$\text{e } z_2 \stackrel{(3.8) \text{ e } (2.34)}{=} x_2 + i \cdot y_2 \in \mathbb{C}. \tag{3.10}$$

Logo

$$z_1 + z_2 \stackrel{(3.9), (3.10) \text{ e } (2.34)}{=} (x_1 + y_1 \cdot i) + (x_2 + y_2 \cdot i). \tag{3.11}$$

Por outro lado, temos:

$$\begin{aligned} z_1 + z_2 &\stackrel{(3.7), (3.8) \text{ e } (2.1)}{=} (x_1 + x_2, y_1 + y_2) \\ &\stackrel{(2.34)}{=} (x_1 + x_2) + (y_1 + y_2) \cdot i. \end{aligned} \tag{3.12}$$

Logo, de (3.11) e (3.12), obtemos

$$(x_1 + y_1 \cdot i) + (x_2 + y_2 \cdot i) = (x_1 + x_2) + (y_1 + y_2) \cdot i,$$

mostrando a validade de (2.36). □

Demonstração 3.0.4 da Proposição 2.1.4 :

Se

$$z_1 = (x_1, y_1) \tag{3.13}$$

$$\text{e } z_2 = (x_2, y_2) \in \mathbb{C}. \tag{3.14}$$

então, do item 3. da Observação 2.1.8, segue que:

$$z_1 \stackrel{(3.13) \text{ e } (2.34)}{=} x_1 + i \cdot y_1 \tag{3.15}$$

$$\text{e } z_2 \stackrel{(3.14) \text{ e } (2.34)}{=} x_2 + i \cdot y_2 \in \mathbb{C}, \tag{3.16}$$

$$\text{logo } z_1 - z_2 = (x_1 + i \cdot y_1) - (x_2 + i \cdot y_2). \tag{3.17}$$

Logo

$$z_1 - z_2 \stackrel{(2.27)}{=} (x_1 - y_1, x_2 - y_2),$$

assim, de (2.34), segue que $z_1 - z_2 = (x_1 - y_1) + i \cdot (x_2 - y_2)$ (3.18)

Logo

$$(x_1 + y_1 \cdot i) - (x_2 + y_2 \cdot i) \stackrel{(3.17)}{=} \stackrel{(3.18)}{=} (x_1 - x_2) + (y_1 - y_2) \cdot i,$$

mostrando a validade de (2.37). □

Demonstração 3.0.5 da Proposição 2.1.5 :

Se

$$z_1 = (x_1, y_1) \quad (3.19)$$

$$e \quad z_2 = (x_2, y_2) \in \mathbb{C}. \quad (3.20)$$

então, do item 3. da Observação 2.1.8, segue que:

$$z_1 \stackrel{(3.19)}{=} \stackrel{(2.34)}{=} x_1 + i \cdot y_1 \quad (3.21)$$

$$e \quad z_2 \stackrel{(3.20)}{=} \stackrel{(2.34)}{=} x_2 + i \cdot y_2. \quad (3.22)$$

Então

$$z_1 \cdot z_2 \stackrel{(3.21)}{=} \stackrel{(3.22)}{=} (x_1 + y_1 \cdot i) \cdot (x_2 + y_2 \cdot i). \quad (3.23)$$

Por outro lado, temos:

$$z_1 \cdot z_2 \stackrel{(2.3)}{=} (x_1 x_2 - y_1 y_2, x_1 y_2 + y_1 x_2)$$

$$\stackrel{(2.34)}{=} (x_1 x_2 - y_1 y_2) + (x_1 y_2 + y_1 x_2) \cdot i. \quad (3.24)$$

Logo

$$(x_1 + y_1 \cdot i) \cdot (x_2 + y_2 \cdot i) \stackrel{(3.23)}{=} \stackrel{(3.24)}{=} (x_1 x_2 - y_1 y_2) + (x_1 y_2 + y_1 x_2) \cdot i,$$

mostrando a validade de (2.38). □

Demonstração 3.0.6 da Proposição 2.1.6 :

Suponhamos que

$$z_1 = (x_1, y_1),$$

$$z_2 = (x_2, y_2) \quad (3.25)$$

$$e \quad z_3 = (x_3, y_3). \quad (3.26)$$

Logo, da Definição 2.1.2, segue que

$$\begin{aligned}
 & \text{que de (3.25), (3.26) e (2.3), é o mesmo que:} & z_1 = z_2 \cdot z_3 \\
 & \text{ou seja,} & (x_1, y_1) = (x_2 x_3 - y_2 y_3, x_2 y_3 + y_2 x_3) \\
 & \text{ou ainda (exercício para o leitor):} & \begin{cases} x_1 = x_2 x_3 - y_2 y_3 \\ y_1 = x_2 y_3 + y_2 x_3 \\ x_3 = \frac{x_1 x_2 + y_1 y_2}{x_2^2 + y_2^2} \\ y_3 = \frac{y_1 x_2 - x_1 y_2}{x_2^2 + y_2^2} \end{cases} \quad (3.27)
 \end{aligned}$$

Portanto, de (3.26) e (3.27), segue que

$$\begin{aligned}
 z_3 &= \left(\frac{x_1 x_2 + y_1 y_2}{x_2^2 + y_2^2}, \frac{y_1 x_2 - x_1 y_2}{x_2^2 + y_2^2} \right) \\
 &\stackrel{(2.34)}{=} \left(\frac{x_1 x_2 + y_1 y_2}{x_2^2 + y_2^2} \right) + \left(\frac{y_1 x_2 - x_1 y_2}{x_2^2 + y_2^2} \right) \cdot i,
 \end{aligned}$$

mostrando a validade de (2.43). □

Demonstração 3.0.7 da Proposição 2.2.1 :

Suponhamos que

$$z_1 = (x_1, y_1), \quad (3.28)$$

$$z_2 = (x_2, y_2), \quad (3.29)$$

$$\text{e } z_3 = (x_3, y_3). \quad (3.30)$$

Do item 1. :

Notemos que

$$\begin{aligned}
 z_1 + z_2 &\stackrel{(3.28) \text{ e } (3.29)}{=} (x_1, y_1) + (x_2, y_2) \\
 &\stackrel{(2.1)}{=} \left(\underbrace{x_1 + x_2}_{\text{comutativa da + em } \mathbb{R}_{x_2+x_1}}, \underbrace{y_1 + y_2}_{\text{comutativa da + em } \mathbb{R}_{y_2+y_1}} \right) \\
 &= (x_1 + x_2, y_1 + y_2) \\
 &\stackrel{(2.1)}{=} (x_2, y_2) + (x_1, y_1) \\
 &\stackrel{(3.28) \text{ e } (3.29)}{=} z_2 + z_1,
 \end{aligned}$$

mostrando a validade de (2.44).

Observemos também que

$$\begin{aligned}
 z_1 \cdot z_2 &\stackrel{(3.28)}{=} \stackrel{(3.29)}{=} (x_1, y_1) \cdot (x_2, y_2) \\
 &\stackrel{(2.3)}{=} \left(\underbrace{x_1 x_2 - y_1 y_2}_{\text{comutativa da } \cdot \text{ em } \mathbb{R}}, \underbrace{x_1 y_2 + y_1 x_2}_{\text{comutativa da } \cdot \text{ em } \mathbb{R}} \right) \\
 &= (x_2 x_1 - y_2 y_1, y_2 x_1 + x_2 y_1) \\
 &\stackrel{(2.3)}{=} (x_2, y_2) \cdot (x_1, y_1) \\
 &\stackrel{(3.28)}{=} \stackrel{(3.29)}{=} z_2 \cdot z_1,
 \end{aligned}$$

mostrando a validade de (2.45).

Do item 2. :

Notemos que

$$\begin{aligned}
 z_1 + (z_2 + z_3) &\stackrel{(3.28),(3.29)}{=} \stackrel{(3.30)}{=} (x_1, y_1) + [(x_2, y_2) + (x_3, y_3)] \\
 &\stackrel{(2.1)}{=} (x_1, y_1) + (x_2 + x_3, y_2 + y_3) \\
 &\stackrel{(2.1)}{=} \left(\underbrace{x_1 + (x_2 + x_3)}_{\text{associativa da } + \text{ em } \mathbb{R}}, \underbrace{y_1 + (y_2 + y_3)}_{\text{associativa da } + \text{ em } \mathbb{R}} \right) \\
 &= ((x_1 + x_2) + x_3, (y_1 + y_2) + y_3) \\
 &\stackrel{(2.1)}{=} (x_1 + x_2, y_1 + y_2) + (x_3, y_3) \\
 &\stackrel{(2.1)}{=} [(x_1, y_1) + (x_2, y_2)] + (x_3, y_3) \\
 &\stackrel{(3.28),(3.29)}{=} \stackrel{(3.30)}{=} (z_1 + z_2) + z_3,
 \end{aligned}$$

mostrando a validade de (2.46).

Observemos que, denotando-se as propriedades

associativa e comutativa de + em \mathbb{R} . por (AC+),
 associativa e comutativa de \cdot em \mathbb{R} . por (AC.),

teremos

$$\begin{aligned}
 z_1 \cdot (z_2 \cdot z_3) &\stackrel{(3.28),(3.29)}{=} \stackrel{(3.30)}{=} (x_1, y_1) \cdot [(x_2, y_2) \cdot (x_3, y_3)] \\
 &\stackrel{(2.3)}{=} (x_1, y_1) + (x_2 x_3 - y_2 y_3, x_2 y_3 + y_2 x_3) \\
 &\stackrel{(2.3)}{=} \left(\underbrace{(x_1 x_2 - y_1 y_2) x_3 - (x_1 y_2 + y_1 x_2) y_3}_{(AC+) \stackrel{(AC.)}{=} (AC.)}, \underbrace{x_1 (x_2 y_3 + y_2 x_3) + y_1 (x_2 x_3 - y_2 y_3)}_{(AC+) \stackrel{(AC.)}{=} (AC.)} \right) \\
 &= ((x_1 x_2 - y_1 y_2) x_3 - (x_1 y_2 + y_1 x_2) y_3, (x_1 x_2 - y_1 y_2) y_3 + (x_1 y_2 + y_1 x_2) x_3) \\
 &\stackrel{(2.3)}{=} [(x_1 x_2 - y_1 y_2, x_1 y_2 + y_1 x_2)] \cdot (x_3, y_3) \\
 &\stackrel{(2.3)}{=} [(x_1, y_1) \cdot (x_2, y_2)] \cdot (x_3, y_3) \\
 &\stackrel{(3.28),(3.29)}{=} \stackrel{(3.30)}{=} (z_1 \cdot z_2) \cdot z_3,
 \end{aligned}$$

mostrando a validade de (2.47).

Do item 3. :

Denotando-se as propriedades

associativa e comutativa de $+$ em \mathbb{R} . por $(AC+)$,

associativa e comutativa de \cdot em \mathbb{R} . por $(AC.)$,

teremos

$$\begin{aligned}
 z_1 \cdot (z_2 + z_3) &\stackrel{(3.28), (3.29), e (3.30)}{=} (x_1, y_1) \cdot [(x_2, y_2) + (x_3, y_3)] \\
 &\stackrel{(2.1)}{=} (x_1, y_1) \cdot (x_2 + x_3, y_2 + y_3) \\
 &\stackrel{(2.3)}{=} \left(\overbrace{x_1(x_2 + x_3) - y_1(y_2 + y_3)}^{(AC+) e (AC.) [x_1 x_2 - y_1 y_2] + [x_1 x_3 - y_1 y_3]}, \overbrace{x_1(y_2 + y_3) + y_1(x_2 + x_3)}^{(AC+) e (AC.) (y_1 + y_2) + y_3} \right) \\
 &= ([x_1 x_2 - y_1 y_2] + [x_1 x_3 - y_1 y_3], [x_1 y_2 + y_1 x_2] + [x_1 y_3 + y_1 x_3]) \\
 &\stackrel{(2.3)}{=} [(x_1 x_2 - y_1 y_2, x_1 y_2 + y_1 x_2)] + [(x_1 x_3 - y_1 y_3, x_1 y_3 + y_1 x_3)] \\
 &\stackrel{(2.1)}{=} [(x_1, y_1) \cdot (x_2, y_2)] + [(x_1, y_1) \cdot (x_3, y_3)] \\
 &\stackrel{(3.28), (3.29) e (3.30)}{=} z_1 \cdot z_2 + z_1 \cdot z_3,
 \end{aligned}$$

mostrando a validade de (2.48).

Do item 4. :

Notemos que

$$\begin{aligned}
 z_1 + \mathbf{O} &\stackrel{(3.28) e (2.9)}{=} (x_1, y_1) + (0, 0) \\
 &\stackrel{(2.1)}{=} (x_1 + 0, y_1 + 0) \\
 &= (x_1, y_1) \\
 &\stackrel{(3.28)}{=} z_1,
 \end{aligned}$$

mostrando a validade de (2.49).

Para a unicidade do elemento neutro da adição em \mathbb{C} temos que, se $O' \in \mathbb{C}$ satisfaz

$$z + O' = z, \quad (3.31)$$

então

$$\begin{aligned}
 O' \cdot O &\stackrel{(2.49)}{=} \text{com } z \doteq O' \quad O' + O \\
 O' &\stackrel{(3.31)}{=} \text{com } z \doteq O \quad O,
 \end{aligned}$$

mostrando a unicidade do elemento neutro da adição em \mathbb{C} .

Do item 5. :

Notemos que

$$\begin{aligned}
 z_1 \cdot 1 &\stackrel{(3.28) \text{ e } (2.7)}{=} (x_1, y_1) \cdot (1, 0) \\
 &\stackrel{(2.3)}{=} (x_1 \cdot 1 - y_1 \cdot 0, x_1 \cdot 0 + y_1 \cdot 1) \\
 &= (x_1, y_1) \\
 &\stackrel{(3.28)}{=} z_1,
 \end{aligned}$$

mostrando a validade de (2.50).

Para a unicidade do elemento neutro da multiplicação em \mathbb{C} temos que, se $1' \in \mathbb{C}$ satisfaz

$$z \cdot 1' = z, \quad (3.32)$$

então

$$\begin{aligned}
 1' \cdot 1 &\stackrel{\text{satisfaz (2.50) com } z \doteq 1'}{=} 1' \cdot 1 \\
 1' &\stackrel{\text{satisfaz (3.35), com } z \doteq 1}{=} 1,
 \end{aligned}$$

mostrando a unicidade do elemento neutro da multiplicação em \mathbb{C} .

Do item 6. :

Se

$$z \doteq (x, y), \quad (3.33)$$

$$\text{segue que, de (2.22), que: } -z = (-x, -y). \quad (3.34)$$

Com isto teremos:

$$\begin{aligned}
 z + (-z) &\stackrel{(3.33) \text{ e } (3.34)}{=} (x_1, y_1) \cdot (-x, -y) \\
 &\stackrel{(2.1)}{=} (x + (-x), y + (-y)) \\
 &= (0, 0) \\
 &\stackrel{(2.9)}{=} O,
 \end{aligned}$$

mostrando a validade de (2.51).

Para a unicidade do elemento oposto da adição em \mathbb{C} temos que, se $w' \in \mathbb{C}$ satisfaz

$$z + w' = O, \quad (3.35)$$

então

$$\begin{aligned}
 w' &\stackrel{(2.49)}{=} w' + O \\
 &\stackrel{(2.51)}{=} w' + (z + w) \\
 &\stackrel{(2.46)}{=} (w' + z) + w \\
 &\stackrel{(2.44)}{=} (z + w') + w, \\
 &\stackrel{(3.35)}{=} O + w \\
 &\stackrel{(2.49)}{=} w
 \end{aligned} \quad (3.36)$$

mostrando a unicidade do elemento oposto da adição em \mathbb{C} .

Do item 7. :

Notemos que

$$\begin{aligned} z \cdot w &\stackrel{(2.53)}{=} \stackrel{(2.54)}{=} (x, y) \cdot \left(\frac{x}{x^2 + y^2}, \frac{-y}{x^2 + y^2} \right) \\ &\stackrel{(2.3)}{=} \left(x \frac{x}{x^2 + y^2} - y \frac{(-y)}{x^2 + y^2}, x \frac{(-y)}{x^2 + y^2} + y \frac{x}{x^2 + y^2} \right) = \left(\frac{x^2 + y^2}{x^2 + y^2}, + \frac{-xy + yx}{x^2 + y^2} \right) \\ &\stackrel{(1,0)}{=} (1, 0) \\ &\stackrel{(2.7)}{=} 1, \end{aligned}$$

mostrando a validade de (2.54).

Para a unicidade do elemento inverso da multiplicação em \mathbb{C} temos que, se $w' \in \mathbb{C}^*$ satisfaz

$$z \cdot w' = 1, \quad (3.37)$$

então

$$\begin{aligned} w' &\stackrel{(2.50)}{=} w' \cdot 1 \\ &\stackrel{(2.52)}{=} w' \cdot (z \cdot w) \\ &\stackrel{(2.47)}{=} (w' \cdot z) \cdot w \\ &\stackrel{(2.45)}{=} (z \cdot w') \cdot w, \\ &\stackrel{(3.37)}{=} 1 \cdot w \\ &\stackrel{(2.45)}{=} w \cdot 1 \\ &\stackrel{(2.50)}{=} w, \end{aligned} \quad (3.38)$$

mostrando a unicidade do elemento inverso da multiplicação em \mathbb{C} .

Do item 8. :

Se

$$\begin{aligned} (0, 0) &\stackrel{(2.9)}{=} O \\ &= z_1 \cdot z_2 \\ &\stackrel{(3.28)}{=} \stackrel{(3.29)}{=} (x_1, y_1) \cdot (x_2, y_2) \\ &\stackrel{(2.3)}{=} (x_1 x_2 - y_1 y_2, x_1 y_2 + y_1 x_2) \\ \text{deveremos ter: } &\begin{cases} x_1 x_2 - y_1 y_2 = 0 \\ x_1 y_2 + y_1 x_2 = 0 \end{cases} . \end{aligned} \quad (3.39)$$

Suponhamos que

$$\begin{aligned} z_1 &\neq O, \\ \text{ou seja, } &x_1 \neq 0 \text{ ou } y_1 \neq 0 \end{aligned}$$

satisfazem (3.39).

Consideremos o caso que

$$x_1 \neq 0. \quad (3.40)$$

Logo, de (3.40) e (3.39), teremos

$$\begin{aligned} & \begin{cases} x_2 = \frac{y_1 y_2}{x_1} \\ x_1 y_2 + y_1 x_2 = 0 \end{cases}, \quad (3.41) \\ \text{substituindo-se a 1.a na 2.a, obteremos:} & \begin{cases} x_2 = \frac{y_1 y_2}{x_1} \\ x_1 y_2 + y_1 \frac{y_1 y_2}{x_1} = 0 \end{cases}, \\ \text{ou, equivalentemente:} & \begin{cases} x_2 = \frac{y_1 y_2}{x_1} \\ x_1^2 y_2 + y_1^2 y_2 = 0 \end{cases}, \\ \text{ou ainda, :} & \begin{cases} x_2 = \frac{y_1 y_2}{x_1} \\ \left(\underbrace{x_1^2 + y_1^2}_{\neq 0, \text{ pois } x_1 \neq 0} \right) y_2 = 0 \end{cases}, \\ \text{ou seja:} & \begin{cases} x_2 = \frac{y_1 y_2}{x_1} \\ y_2 = 0 \end{cases}, \end{aligned}$$

$$\text{substituindo a 2.a na 1.a, obteremos: } \begin{cases} x_2 = 0 \\ y_2 = 0 \end{cases},$$

mostrando que a única solução do sistema (não linear) (3.41) será:

$$(x_2, y_2) = (0, 0), \quad (3.42)$$

ou seja,

$$\begin{aligned} z_2 & \stackrel{(3.29)}{=} (x_2, y_2) \\ & \stackrel{(3.42)}{=} (0, 0) \\ & \stackrel{(2.9)}{=} \mathbf{O}, \end{aligned}$$

mostrando a validade de (2.56), se

$$z_1 = (x_1, y_1) \neq (0, y_1).$$

Os outros casos, a saber

$$\begin{aligned} & z_1 = (x_1, y_1) \neq (x_1, 0), \\ \text{ou seja, } & y_1 \neq 0, \end{aligned}$$

bem como o caso

$$z_2 \neq 0$$

são semelhantes e serão deixados como exercício para o leitor, completando assim a demonstração do item 8. .

□

Demonstração 3.0.8 da Proposição 2.4.1 :

Suponhamos que

$$z_1 = (x_1, y_1) \quad (3.43)$$

$$z_2 = (x_2, y_2) \quad (3.44)$$

$$\text{e } z_3 = (x_3, y_3) \quad (3.45)$$

De (2.64):

Notemos que

$$z_1 + z_2 \stackrel{(3.43), (3.44) \text{ e } (2.1)}{=} (x_1 + x_2, y_1 + y_2). \quad (3.46)$$

Da Definição 2.4.1, temos

$$\overline{z_1} \stackrel{(3.43) \text{ e } (2.59)}{=} (x_1, -y_1) \quad (3.47)$$

$$\overline{z_2} \stackrel{(3.44) \text{ e } (2.59)}{=} (x_2, -y_2), \quad (3.48)$$

$$\text{e } \overline{z_1 + z_2} \stackrel{(3.46) \text{ e } (2.59)}{=} (x_1 + x_2, -(y_1 + y_2)), \quad (3.49)$$

Logo

$$\begin{aligned} \overline{z_1 + z_2} &\stackrel{(3.49)}{=} (x_1 + x_2, -(y_1 + y_2)) \\ &= (x_1, -y_1) + (x_2, y_2) \\ &\stackrel{(3.47) \text{ e } (3.48)}{=} \overline{z_1} + \overline{z_2}, \end{aligned}$$

mostrando a validade de (2.64).

De (2.65):

Notemos que

$$z_1 - z_2 \stackrel{(3.43), (3.44) \text{ e } (2.27)}{=} (x_1 - x_2, y_1 - y_2). \quad (3.50)$$

Da Definição 2.4.1, temos

$$\overline{z_1 - z_2} \stackrel{(3.50) \text{ e } (2.59)}{=} (x_1 - x_2, -(y_1 - y_2)), \quad (3.51)$$

Logo

$$\begin{aligned} \overline{z_1 - z_2} &\stackrel{(3.51)}{=} (x_1 - x_2, -(y_1 - y_2)) \\ &= (x_1 - x_2, -y_1 - (-y_2)) \\ &\stackrel{(2.27)}{=} (x_1, -y_1) - (x_2, -y_2) \\ &\stackrel{(3.47) \text{ e } (3.48)}{=} \overline{z_1} - \overline{z_2}, \end{aligned}$$

mostrando a validade de (2.65).

De (2.66):

Notemos que

$$z_1 \cdot z_2 \stackrel{(3.43),(3.44)}{=} e \stackrel{(2.38)}{=} (x_1 x_2 - y_1 y_2, x_1 y_2 + y_1 x_2). \quad (3.52)$$

Da Definição 2.4.1, temos

$$\overline{z_1 \cdot z_2} \stackrel{(3.52)}{=} e \stackrel{(2.59)}{=} (x_1 x_2 - y_1 y_2, -(x_1 y_2 + y_1 x_2)), \quad (3.53)$$

Por outro lado,

$$\begin{aligned} \overline{z_1} \cdot \overline{z_2} &\stackrel{(3.47),(3.48)}{=} e \stackrel{(2.38)}{=} (x_1 x_2 - (-y_1)(-y_2), x_1(-y_2) + (-y_1)x_2) \\ &= (x_1 x_2 - y_1 y_2, -(x_1 y_2 + y_1 x_2)), \end{aligned} \quad (3.54)$$

ou seja, comparando de (3.53) com (3.54), teremos:

$$\overline{z_1 \cdot z_2} = \overline{z_1} \cdot \overline{z_2},$$

mostrando a validade de (2.65).

De (2.67):

Da Definição 2.4.1, temos

$$\overline{z_3} \stackrel{(3.45)}{=} e \stackrel{(2.59)}{=} (x_3, -y_3) \quad (3.55)$$

Notemos que, de (3.43), (3.45) e (2.43), temos

$$\frac{z_1}{z_3} = \left(\frac{x_1 x_3 + y_1 y_3}{x_3^2 + y_3^2}, \frac{y_1 x_3 - x_1 y_3}{x_3^2 + y_3^2} \right). \quad (3.56)$$

$$\text{Logo: } \overline{\left(\frac{z_1}{z_3} \right)} \stackrel{(3.56)}{=} e \stackrel{(2.59)}{=} \left(\frac{x_1 x_3 + y_1 y_3}{x_3^2 + y_3^2}, -\frac{y_1 x_3 - x_1 y_3}{x_3^2 + y_3^2} \right) \quad (3.57)$$

e de (3.47), (3.55) e (2.43), temos

$$\begin{aligned} \overline{\overline{z_1}} &= \left(\frac{x_1 x_3 + (-y_1)(-y_3)}{x_3^2 + (-y_3)^2}, \frac{(-y_1)x_3 - x_1(-y_3)}{x_3^2 + (-y_3)^2} \right) \\ &= \left(\frac{x_1 x_3 + y_1 y_3}{x_3^2 + y_3^2}, -\frac{y_1 x_3 - x_1 y_3}{x_3^2 + y_3^2} \right) \\ &\stackrel{(3.56)}{=} \overline{\left(\frac{z_1}{z_3} \right)}, \end{aligned}$$

mostrando a validade de (2.67).

De (2.68):

Da Definição 2.4.1, temos

$$\overline{z} \stackrel{(2.63)}{=} e \stackrel{(2.59)}{=} (x, -y) \quad (3.58)$$

Logo,

$$\begin{aligned} \overline{\overline{z}} &\stackrel{(3.58)}{=} e \stackrel{(2.59)}{=} (x, -(-y)) \\ &= (x, y) \\ &\stackrel{(2.63)}{=} z, \end{aligned}$$

mostrando a validade de (2.68).

De (2.69):

Lembremos do item 5. da Observação 2.1.3 que, fazemos o seguinte abuso de notação (veja (2.7))

$$x = (x, 0).$$

Notemos que

$$\begin{aligned} \text{se } x &\stackrel{(2.7)}{=} (x, 0), \\ \text{então } \bar{w} &\stackrel{(3.59)}{=} \stackrel{e(2.59)}{=} (x, 0) \\ &\stackrel{(2.7)}{=} x, \end{aligned} \tag{3.59}$$

mostrando a validade de (2.69).

De (2.70):

Notemos que

$$\begin{aligned} z + \bar{z} &\stackrel{(2.63)}{=} \stackrel{e(3.58)}{=} (x + x, y + (-y)) \\ &= (2x, 0) \\ &\stackrel{(2.7)}{=} 2x \\ &\stackrel{(2.10)}{=} 2\Re(x) \end{aligned}$$

mostrando a validade de (2.70).

De (2.71):

Notemos que

$$\begin{aligned} z - \bar{z} &\stackrel{(2.63)}{=} \stackrel{e(3.58)}{=} (x - x, (-y) + (-y)) \\ &= (0, -2y) \\ &= -2y(0, 1) \\ &\stackrel{(2.8)}{=} -2y \cdot i \\ &\stackrel{(2.11)}{=} -2\Im(x) \cdot i \end{aligned}$$

mostrando a validade de (2.71).

De (2.72):

Notemos que, da Definição 2.4.1 temos que:

$$\bar{z} \stackrel{(2.63)}{=} \stackrel{e(2.59)}{=} x - y \cdot i. \tag{3.60}$$

Logo

$$\begin{aligned} z \cdot \bar{z} &\stackrel{(3.60)}{=} (x + y \cdot i) \cdot (x - y \cdot i) \\ &\stackrel{(2.38)}{=} [xx - y(-y)] + \underbrace{[x(-y) + xy]}_{=0} \cdot i \\ &= x^2 + y^2. \end{aligned} \tag{3.61}$$

mostrando a validade de (2.72), completando a demonstração do resultado. □

Demonstração 3.0.9 da Proposição 2.5.1 :

Suponhamos que

$$z = (x, y), \quad (3.62)$$

$$z_1 = (x_1, y_1), \quad (3.63)$$

$$z_2 = (x_2, y_2) \quad (3.64)$$

$$\text{e } z_3 = (x_3, y_3). \quad (3.65)$$

Do item 1. :

De (2.89):

Da Definição 2.5.1, temos

$$\begin{aligned} |z|^2 &\stackrel{(2.74)}{=} \left(\sqrt{x^2 + y^2} \right)^2 \\ &= x^2 + y^2 \\ &\stackrel{(2.10) \text{ e } (2.11)}{=} [\Re(z)]^2 + [\Im(z)]^2, \end{aligned} \quad (3.66)$$

mostrando a validade de (2.89).

De (2.90):

Da Definição 2.5.1, temos

$$\begin{aligned} |z| &\stackrel{(2.74)}{=} \sqrt{\underbrace{x^2 + y^2}_{\geq x^2}} \\ &= \sqrt{x^2} \\ &= |x| \\ &\stackrel{(2.10)}{=} |\Re(z)| \\ &\geq \Re(z), \end{aligned}$$

mostrando a validade de (2.90).

De (2.91):

Da Definição 2.5.1, temos

$$\begin{aligned} |z| &\stackrel{(2.74)}{=} \sqrt{\underbrace{x^2 + y^2}_{\geq x^2}} \\ &= \sqrt{x^2} \\ &= |x| \\ &\stackrel{(2.11)}{=} |\Im(z)| \\ &\geq \Im(z), \end{aligned}$$

mostrando a validade de (2.91).

De (2.92):

Da Definição 2.5.1, temos

$$\begin{aligned} |z|^2 &\stackrel{(2.74)}{=} \left(\underbrace{\sqrt{x^2 + y^2}}_{\geq x^2} \right)^2 \\ &= x^2 + y^2 \\ &\stackrel{(2.72)}{=} z \cdot \bar{z} \end{aligned}$$

mostrando a validade de (2.92).

De (2.93):

Notemos que

$$\bar{z} = (x, -y). \quad (3.67)$$

Da Definição 2.5.1, temos

$$\begin{aligned} |\bar{z}| &\stackrel{(3.67)}{=} \stackrel{(2.74)}{=} \left(\sqrt{x^2 + (-y)^2} \right)^2 \\ &= \sqrt{x^2 + y^2} \\ &\stackrel{(2.74)}{=} |z| \end{aligned}$$

mostrando a validade de (2.93).

De (2.94):

Notemos que

$$\begin{aligned} |z_1 \cdot z_2| &\stackrel{(3.63),(3.64),(2.3)}{=} \stackrel{(2.74)}{=} \sqrt{(x_1 x_2 - y_1 y_2)^2 + (x_1 y_2 + x_2 y_1)^2} \\ &= \sqrt{[(x_1 x_2)^2 - 2x_1 x_2 y_1 y_2 + (y_1 y_2)^2] + [(x_1 y_2)^2 + 2x_1 y_2 x_2 y_1 + (x_2 y_1)^2]} \\ &= \sqrt{(x_1 x_2)^2 + (y_1 y_2)^2 + (x_1 y_2)^2 + (x_2 y_1)^2}. \end{aligned} \quad (3.68)$$

Por outro lado,

$$\begin{aligned} |z_1| |z_2| &\stackrel{(3.63),(3.64)}{=} \stackrel{(2.74)}{=} \sqrt{(x_1)^2 + (y_1)^2} \sqrt{(x_2)^2 + (y_2)^2} \\ &= \sqrt{(x_1)^2 (x_2)^2 + (x_1)^2 (y_2)^2 + (y_1)^2 (x_2)^2 + (y_1)^2 (y_2)^2} \\ &= \sqrt{(x_1 x_2)^2 + (y_1 y_2)^2 + (x_1 y_2)^2 + (x_2 y_1)^2} \\ &\stackrel{(3.68)}{=} |z_1 \cdot z_2|. \end{aligned} \quad (3.69)$$

mostrando a validade de (2.94).

De (2.95):

Notemos que

$$\begin{aligned}
 \left| \frac{z_1}{z_3} \right| &\stackrel{(3.63), (3.65), (2.43) \text{ e } (2.74)}{=} \sqrt{\left(\frac{x_1 x_3 + y_1 y_3}{x_3^2 + y_3^2} \right)^2 + \left(\frac{x_3 y_1 - x_1 y_3}{x_3^2 + y_3^2} \right)^2} \\
 &= \sqrt{\frac{(x_1 x_3)^2 + 2 x_1 x_3 y_1 y_3 + (y_1 y_3)^2}{(x_3^2 + y_3^2)^2} + \frac{(x_3 y_1)^2 - 2 x_3 y_1 x_1 y_3 + (x_1 y_3)^2}{(x_3^2 + y_3^2)^2}} \\
 &= \sqrt{\frac{(x_1 x_3)^2 + (y_1 y_3)^2 + (x_3 y_1)^2 + (x_1 y_3)^2}{(x_3^2 + y_3^2)^2}} \\
 &= \sqrt{\frac{[x_1^2 + y_1^2] (x_3^2 + y_3^2)}{(x_3^2 + y_3^2)^2}} \\
 &= \sqrt{\frac{(x_1)^2 + (y_1)^2}{x_3^2 + y_3^2}}. \tag{3.70}
 \end{aligned}$$

Por outro lado,

$$\begin{aligned}
 \frac{|z_1|}{|z_3|} &\stackrel{(3.63), (3.64) \text{ e } (2.74)}{=} \frac{\sqrt{x_1^2 + y_1^2}}{\sqrt{x_3^2 + y_3^2}} \\
 &\stackrel{(3.70)}{=} \left| \frac{z_1}{z_3} \right|.
 \end{aligned}$$

mostrando a validade de (2.95).

De (2.96):

Como

$$z_1 + z_2 \stackrel{(3.62), (3.63) \text{ e } (2.1)}{=} (x_1 + x_2, y_1 + y_2) \tag{3.71}$$

teremos

$$\begin{aligned}
 |z_1 + z_2|^2 &\stackrel{(3.71) \text{ e } (2.74)}{=} (x_1 + x_2)^2 + (y_1 + y_2)^2 \\
 &= (x_1^2 + 2 x_1 x_2 + x_2^2) + (y_1^2 + 2 y_1 y_2 + y_2^2) \\
 &= x_1^2 + y_1^2 + x_2^2 + y_2^2 + 2(x_1 x_2 + y_1 y_2). \tag{3.72}
 \end{aligned}$$

Por outro lado,

$$\begin{aligned}
 (|z_1| + |z_2|)^2 &\stackrel{(3.62), (3.63) \text{ e } (2.74)}{=} \left(\sqrt{x_1^2 + y_1^2} + \sqrt{x_2^2 + y_2^2} \right)^2 \\
 &= (x_1^2 + y_1^2) + 2 \sqrt{x_1^2 + y_1^2} \sqrt{x_2^2 + y_2^2} + (x_2^2 + y_2^2) \\
 &= x_1^2 + y_1^2 + x_2^2 + y_2^2 + 2 \sqrt{x_1^2 x_2^2 + x_1^2 y_2^2 + y_1^2 x_2^2 + y_1^2 y_2^2}. \tag{3.73}
 \end{aligned}$$

Notemos que

$$\begin{aligned}
 0 &\leq (x_1 y_2 - x_2 y_1)^2 \\
 &= x_1^2 y_2^2 - 2 x_1 y_2 x_2 y_1 + x_2^2 y_1^2 \\
 \text{implicando que: } &2 x_1 y_2 x_2 y_1 \leq x_1^2 y_2^2 + x_2^2 y_1^2. \tag{3.74}
 \end{aligned}$$

Portanto, utilizando-se (3.74) em (3.73) (e o fato que a função $\sqrt{\cdot}$ é crescente), obteremos:

$$\begin{aligned} (|z_1| + |z_2|)^2 &\geq x_1^2 + y_1^2 + x_2^2 + y_2^2 + 2\sqrt{x_1^2 x_2^2 + 2x_1 y_2 x_2 y_1 + y_1^2 y_2^2} \\ &= x_1^2 + y_1^2 + x_2^2 + y_2^2 + 2\sqrt{(x_1 x_2 + y_1 y_2)^2} \\ &= x_1^2 + y_1^2 + x_2^2 + y_2^2 + 2|x_1 x_2 + y_1 y_2| \\ &\geq x_1^2 + y_1^2 + x_2^2 + y_2^2 + 2(x_1 x_2 + y_1 y_2) \\ &\stackrel{(3.72)}{=} |z_1 + z_2|^2, \end{aligned}$$

ou seja, $|z_1 + z_2| \leq |z_1| + |z_2|$,

mostrando a validade de (2.96).

De (2.97):

Notemos que

$$\begin{aligned} |z_1| &= |(z_1 - z_2) + z_2| \\ &\stackrel{(2.96)}{\leq} |z_1 - z_2| + |z_2|, \\ \text{ou seja, } |z_1| - |z_2| &\leq |z_1 - z_2|, \end{aligned}$$

mostrando a validade de (2.97).

Do item 2. :

Notemos que

$$\begin{aligned} |z| &= 0, \\ \text{de 2.74, é o mesmo que: } \sqrt{x^2 + y^2} &= 0, \\ \text{que é equivalente a: } x^2 + y^2 &= 0, \\ \text{isto é: } x = y &= 0, \\ \text{ou seja, } z &= 0, \end{aligned}$$

completando a demonstração do item 2. .

Do item 3. :

Notemos que

$$\begin{aligned} |z|^2 &\stackrel{(2.89)}{=} \overbrace{[\Re(z)]^2}^{(3.62)_x} + \overbrace{[\Im(z)]^2}^{(3.62)_y} \\ &= x^2 + y^2, \end{aligned}$$

ou seja,

$$\begin{aligned} |z| &= \sqrt{x^2 + y^2} \\ &\stackrel{\sqrt{\cdot} \text{ é crescente}}{\leq} \sqrt{x^2} + \sqrt{y^2} \\ &\stackrel{(2.98)}{=} |x| + |y|, \end{aligned}$$

completando a demonstração do item 3. e do resultado. □

Demonstração 3.0.10 da Proposição 2.5.2 :

Se

$$z_1 = (x_1, y_1) \quad (3.75)$$

$$e \quad z_2 = (x_2, y_2) \in \mathbb{C}. \quad (3.76)$$

Como $z_2 \neq 0$, de (2.41), segue que

$$x_2 \neq 0 \quad \text{ou} \quad y_2 \neq 0$$

$$\text{implicando que: } \overline{z_2} \stackrel{(2.59)}{\neq} 0. \quad (3.77)$$

Logo,

$$\begin{aligned} \frac{z_1}{z_2} &= \frac{x_1 + y_1 \cdot i}{x_2 + y_2 \cdot i} \\ \overline{\overline{z_2} = x_2 - y_2 \cdot i \neq 0} & \frac{x_1 + y_1 \cdot i}{x_2 + y_2 \cdot i} \cdot \frac{x_2 - y_2 \cdot i}{x_2 - y_2 \cdot i} \\ &= \frac{(x_1 + y_1 \cdot i) \cdot (x_2 - y_2 \cdot i)}{(x_2 + y_2 \cdot i) \cdot (x_2 - y_2 \cdot i)} \\ &\stackrel{(2.38)}{=} \frac{[x_1 x_2 - y_1 (-y_2)] + [x_1 (-y_2) + y_1 x_2] \cdot i}{[x_2 x_2 - y_2 (-y_2)] + \underbrace{[x_2 (-y_2) + x_2 y_2]}_{=0} \cdot i} \\ &= \frac{[x_1 x_2 + y_1 y_2] + [-x_1 y_2 + y_1 x_2] \cdot i}{x_2^2 + y_2^2} \\ &= \frac{x_1 x_2 + y_1 y_2}{x_2^2 + y_2^2} + \frac{y_1 x_2 - x_1 y_2}{x_2^2 + y_2^2} \cdot i, \end{aligned} \quad (3.78)$$

que coincide com a expressão obtida em (2.43). □

Demonstração 3.0.11 da Proposição 2.6.1 :

Notemos que

$$\begin{aligned} \bar{z} &= \overline{r [\cos(\theta) + i \cdot \text{sen}(\theta)]} \\ &\stackrel{(2.66)}{=} \stackrel{(2.64)}{=} \bar{r} [\overline{\cos(\theta)} + \bar{i} \cdot \overline{\text{sen}(\theta)}] \\ &\stackrel{(2.69)}{=} r [\cos(\theta) - i \cdot \text{sen}(\theta)] \\ &\stackrel{\cos(-\theta) = \cos(\theta) \quad e \quad \text{sen}(-\theta) = -\text{sen}(\theta)}{=} r \left[\underbrace{\cos(-\theta)}_{=\cos(\theta)} + i \cdot \underbrace{\text{sen}(-\theta)}_{=-\text{sen}(\theta)} \right] \\ &= r [\cos(\theta) - i \cdot \text{sen}(\theta)], \end{aligned}$$

mostrando a validade de (2.115) □

Demonstração 3.0.12 da Proposição 2.6.2 :

Notemos que $r > 0$ e $\theta \in \mathbb{R}$, são tais que

$$\text{se } z = r [\cos(\theta) + i \cdot \text{sen}(\theta)], \quad (3.79)$$

$$\text{então, de (2.115), teremos: } \bar{z} = r [\cos(-\theta) + i \cdot \text{sen}(-\theta)]. \quad (3.80)$$

$$\text{De (3.79), (3.80) e (2.111), segue: } \arg(\bar{z}) = \{-\theta + 2k\pi; k \in \mathbb{Z}\} = -\arg(z),$$

para $k \in \mathbb{Z}$, completado a demonstração. □

Demonstração 3.0.13 da Proposição 2.6.3 :

Notemos que

$$\begin{aligned} z_1 \cdot z_2 &\stackrel{(2.117)}{=} \{r_1 [\cos(\theta_1) + i \cdot \text{sen}(\theta_1)]\} \cdot \{r_2 [\cos(\theta_2) + i \cdot \text{sen}(\theta_2)]\} \\ &\stackrel{(2.44) \text{ e } (2.45)}{=} r_1 r_2 \left\{ \underbrace{\cos(\theta_1) \cos(\theta_2) - \text{sen}(\theta_1) \text{sen}(\theta_2)}_{=\cos(\theta_1+\theta_2)} + i \cdot \left[\underbrace{\text{sen}(\theta_1) \cos(\theta_2) + \cos(\theta_1) \text{sen}(\theta_2)}_{=\text{sen}(\theta_1+\theta_2)} \right] \right\} \\ &= r_1 r_2 \{\cos(\theta_1 + \theta_2) + i \cdot [\text{sen}(\theta_1 + \theta_2)]\}, \end{aligned}$$

mostrando a validade de (2.118) e completando a demonstração. □

Demonstração 3.0.14 do Corolário 2.6.2 :

Suponhamos que as formas polares dos números complexos z_1 e z_2 são dadas por

$$\begin{aligned} z_1 &= r_1 [\cos(\theta_1) + i \cdot \text{sen}(\theta_1)], \\ z_2 &= r_2 [\cos(\theta_2) + i \cdot \text{sen}(\theta_2)], \end{aligned} \quad (3.81)$$

ou seja,

$$\arg z_1 \doteq \{\theta_1 + 2k\pi; k \in \mathbb{Z}\} \quad \text{e} \quad \arg z_2 \doteq \{\theta_2 + 2m\pi; m \in \mathbb{Z}\}, \quad (3.82)$$

com $k \in \mathbb{Z}$.

Então, da Proposição 2.6.3, temos

$$z_1 \cdot z_2 \stackrel{(2.118)}{=} r_1 r_2 \{\cos(\theta_1 + \theta_2) + i \cdot [\text{sen}(\theta_1 + \theta_2)]\}. \quad (3.83)$$

Logo, de (3.83), segue que

$$\begin{aligned} \arg(z_1 \cdot z_2) &= \{\theta_1 + \theta_2 + 2l\pi; l \in \mathbb{Z}\} \\ &\stackrel{(3.82)}{=} \arg(z_1) + \arg(z_2), \end{aligned}$$

para $k \in \mathbb{Z}$, como queríamos demonstrar. □

Demonstração 3.0.15 do Corolário 2.6.4 :

Notemos que, para cada $n \in \mathbb{N}$, de (2.124) e do Corolário 2.6.1, com

$$z_j \doteq z, \quad (3.84)$$

$$\text{ou seja, } r_j \cdot r \quad (3.85)$$

$$\text{e } \theta_j \doteq \theta, \quad \text{para cada } j \in \{1, 2, \dots, n\}, \quad (3.86)$$

teremos

$$\begin{aligned} z^n &\stackrel{(3.84)}{=} \prod_{j=1}^n z_j \\ &\stackrel{(2.120)}{=} \prod_{j=1}^n r_j \left[\cos \left(\sum_{j=1}^n \theta_j \right) + i \cdot \text{sen} \left(\sum_{j=1}^n \theta_j \right) \right] \\ &\stackrel{(3.85) \text{ e } (3.86)}{=} r^n [\cos(n\theta) + i \cdot \text{sen}(n\theta)] \end{aligned} \quad (3.87)$$

mostrando a validade de (2.125).

Como consequência temos

$$\begin{aligned} \arg(z^n) &\stackrel{(2.125)}{=} \{n\theta + 2k\pi; k \in \mathbb{Z}\} \\ &\stackrel{(2.124)}{=} n \arg(z), \end{aligned}$$

mostrando a validade de (2.126) e completando a demonstração. □

Demonstração 3.0.16 do Corolário 2.6.5 :

Notemos que

$$\begin{aligned} r &\stackrel{(2.104)}{=} |z| \\ &\stackrel{(2.127)}{=} 1. \end{aligned} \quad (3.88)$$

Logo, de (3.88), (2.128) e (2.125), segue que

$$z^n = [\cos(n\theta) + i \cdot \text{sen}(n\theta)]$$

mostrando a validade de (2.129) e completando a demonstração. □

Demonstração 3.0.17 da Proposição 2.6.4 :

Notemos que

$$\begin{aligned}
\frac{z_1}{z_2} &\stackrel{(2.130)}{=} \frac{r_1 [\cos(\theta_1) + i \cdot \text{sen}(\theta_1)]}{r_2 [\cos(\theta_2) + i \cdot \text{sen}(\theta_2)]} \\
&= \frac{r_1 [\cos(\theta_1) + i \cdot \text{sen}(\theta_1)]}{r_2 [\cos(\theta_2) + i \cdot \text{sen}(\theta_2)]} \cdot \frac{r_1 [\cos(\theta_1) - i \cdot \text{sen}(\theta_1)]}{r_2 [\cos(\theta_2) - i \cdot \text{sen}(\theta_2)]} \\
&= \frac{r_1}{r_2} \frac{\overbrace{\cos(\theta_1) \cos(\theta_2)}^{=\cos(-\theta_2)} + \overbrace{\text{sen}(\theta_1) \text{sen}(\theta_2)}^{=-\text{sen}(-\theta_2)} + i \cdot [\overbrace{-\text{sen}(\theta_1) \cos(\theta_2)}^{=\cos(\theta_2)} - \overbrace{\text{sen}(\theta_2) \cos(\theta_1)}^{=\text{sen}(-\theta_2)}]}{\underbrace{\cos^2(\theta_1) + \text{sen}^2(\theta_1)}_{=1}} \\
&= \frac{r_1}{r_2} \left\{ \overbrace{\cos(\theta_1) \cos(-\theta_2) - \text{sen}(\theta_1) \text{sen}(-\theta_2)}^{=\cos(\theta_1 - \theta_2)} + i \cdot \overbrace{[-\text{sen}(\theta_1) \cos(\theta_2) + \text{sen}(\theta_2) \cos(\theta_1)]}^{=\text{sen}(\theta_1 - \theta_2)} \right\} \\
&= \frac{r_1}{r_2} [\cos(\theta_1 - \theta_2) + i \cdot \text{sen}(\theta_1 - \theta_2)],
\end{aligned}$$

mostrando a validade de (2.131).

De (2.130) temos

$$\arg z_1 \doteq \{\theta_1 + 2m\pi; m \in \mathbb{Z}\} \quad e \quad \arg z_2 \doteq \{\theta_2 + 2n\pi; n \in \mathbb{Z}\}. \quad (3.89)$$

Logo, como consequência (2.131), (3.89), segue:

$$\begin{aligned}
\arg \left(\frac{z_1}{z_2} \right) &\stackrel{(2.131)}{=} \{\theta_1 - \theta_2 + 2k\pi; k \in \mathbb{Z}\} \\
&\stackrel{(3.89)}{=} \arg(z_1) - \arg(z_2),
\end{aligned}$$

mostrando a validade de (2.132) e demonstração. □

Demonstração 3.0.18 do Corolário 2.6.6 :

Como uma forma polar do número complexo 1 é dada por

$$1 = 1 [\cos(0) + i \cdot \text{sen}(0)] \quad (3.90)$$

de (2.134) e da Proposição 2.6.4 (com $r_1 \doteq 1$, $r_2 \doteq r$, $\theta_1 = 0$ e $\theta_2 \doteq \theta$), teremos:

$$\begin{aligned}
\frac{1}{z} &\stackrel{(2.131)}{=} \frac{1}{r} [\cos(0 - \theta) + i \cdot \text{sen}(0 - \theta)] \\
&= \frac{1}{r} [\cos(-\theta) + i \cdot \text{sen}(-\theta)] \\
&\stackrel{\cos(-\theta)=\cos(\theta) \quad e \quad \text{sen}(-\theta)=-\text{sen}(\theta)}{=} \frac{1}{r} [\cos(\theta) - i \cdot \text{sen}(\theta)],
\end{aligned} \quad (3.91)$$

mostrando a validade (2.134).

Como consequência temos

$$\begin{aligned}
\arg \left(\frac{1}{z} \right) &\stackrel{(3.91)}{=} \{-\theta + 2k\pi; k \in \mathbb{Z}\} \\
&\stackrel{(2.133)}{=} \arg(-z),
\end{aligned}$$

mostrando a validade (2.135) e completando a demonstração. □

Demonstração 3.0.19 do Corolário 2.6.7 :

Dos Corolários 2.6.6 e 2.6.4, segue que

$$\begin{aligned}
 z^{-n} &= \frac{1}{z^n} \\
 &= \left(\frac{1}{z}\right)^n \\
 &\stackrel{(3.91) \text{ e } (2.125)}{=} \left(\frac{1}{r}\right)^n \{\cos[n(-\theta)] + i \cdot \text{sen}[n(-\theta)]\} \\
 &= \left(\frac{1}{r}\right)^n \{\cos[-n\theta] + i \cdot \text{sen}[-n\theta]\} \\
 &\stackrel{\cos(-\theta)=\cos(\theta) \text{ e } \text{sen}(-\theta)=-\text{sen}(\theta)}{=} \frac{1}{r^n} [\cos(n\theta) - i \cdot \text{sen}(n\theta)],
 \end{aligned} \tag{3.92}$$

mostrando a validade de (2.137).

Notemos que, (3.92) implicará

$$\begin{aligned}
 \arg(z^{-n}) &= \{-n\theta + 2k\pi; k \in \mathbb{Z}\} \\
 &= -n \arg(z),
 \end{aligned}$$

mostrando a validade de (2.138) e completando a demonstração. □

Demonstração 3.0.20 da Proposição 2.7.1 :

Notemos que, de (2.162) e (2.125), segue que

$$z^m = r^m [\cos(m\theta) + i \cdot \text{sen}(m\theta)]. \tag{3.93}$$

Logo, de (3.93) e (2.153), segue que, para cada $k \in \{0, 1, 2, \dots, n-1\}$, teremos:

$$\begin{aligned}
 (z^m)^{\frac{1}{n}} &= \sqrt[n]{r^m} \left[\underbrace{\cos\left(\frac{m\theta}{n} + \frac{2k\pi}{n}\right) + i \cdot \text{sen}\left(\frac{m\theta}{n} + \frac{2k\pi}{n}\right)}_{\stackrel{(2.117)}{=} [\cos(\frac{m\theta}{n}) + i \cdot \text{sen}(\frac{m\theta}{n})] \cdot [\cos(\frac{2k\pi}{n}) + i \cdot \text{sen}(\frac{2k\pi}{n})]} \right] \\
 &= \sqrt[n]{r^m} \left[\cos\left(\frac{m\theta}{n}\right) + i \cdot \text{sen}\left(\frac{m\theta}{n}\right) \right] \cdot \left[\underbrace{\cos\left(\frac{2k\pi}{n}\right) + i \cdot \text{sen}\left(\frac{2k\pi}{n}\right)}_{\stackrel{(2.129)}{=} [\cos(\frac{2\pi}{n}) + i \cdot \text{sen}(\frac{2\pi}{n})]^k} \right] \\
 &= \sqrt[n]{r^m} \left[\cos\left(\frac{m\theta}{n}\right) + i \cdot \text{sen}\left(\frac{m\theta}{n}\right) \right] \cdot \left[\cos\left(\frac{2\pi}{n}\right) + i \cdot \text{sen}\left(\frac{2\pi}{n}\right) \right]^k \\
 &\stackrel{(2.157)}{=} \sqrt[n]{r^m} \left[\cos\left(\frac{m\theta}{n}\right) + i \cdot \text{sen}\left(\frac{m\theta}{n}\right) \right] \cdot \omega^k,
 \end{aligned}$$

mostrando a validade de (2.163).

A identidade (2.164) segue de (2.163), completando a demonstração. \square

Demonstração 3.0.21 da Proposição 2.7.2 :

Se a forma polar do número complexo $z \neq 0$ é dada por

$$z = r [\cos(\theta) + i \cdot \text{sen}(\theta)]. \quad (3.94)$$

então de, (2.153), teremos

$$z_* \stackrel{(2.142)}{=} z^{\frac{1}{n}} = \sqrt[n]{r} \left[\cos\left(\frac{\theta}{n} + \frac{2k\pi}{n}\right) + i \cdot \text{sen}\left(\frac{\theta}{n} + \frac{2k\pi}{n}\right) \right], \quad (3.95)$$

para $k \in \{0, 1, \dots, n-1\}$,

Notemos que:

$$(z_*)^m = \left(z^{\frac{1}{n}}\right)^m$$

$$\begin{aligned} & \stackrel{(3.95) \text{ e } (2.125)}{=} (\sqrt[n]{r})^m \left[\underbrace{\cos\left(\frac{m\theta}{n} + \frac{2km\pi}{n}\right) + i \cdot \text{sen}\left(\frac{m\theta}{n} + \frac{2km\pi}{n}\right)}_{\stackrel{(2.117)}{=} [\cos(\frac{m\theta}{n}) + i \cdot \text{sen}(\frac{m\theta}{n})] \cdot [\cos(\frac{2km\pi}{n}) + i \cdot \text{sen}(\frac{2km\pi}{n})]} \right] \\ & = (\sqrt[n]{r})^m \left[\cos\left(\frac{m\theta}{n}\right) + i \cdot \text{sen}\left(\frac{m\theta}{n}\right) \right] \cdot \left[\underbrace{\cos\left(\frac{2km\pi}{n}\right) + i \cdot \text{sen}\left(\frac{2km\pi}{n}\right)}_{\stackrel{(2.129)}{=} [\cos(\frac{2\pi}{n}) + i \cdot \text{sen}(\frac{2\pi}{n})]^{km}} \right] \\ & \stackrel{k \equiv l \pmod{n}}{=} (\sqrt[n]{r})^m \left[\cos\left(\frac{m\theta}{n}\right) + i \cdot \text{sen}\left(\frac{m\theta}{n}\right) \right] \cdot \left[\cos\left(\frac{2\pi}{n}\right) + i \cdot \text{sen}\left(\frac{2\pi}{n}\right) \right]^l \\ & \stackrel{(2.157)}{=} (\sqrt[n]{r})^m \left[\cos\left(\frac{m\theta}{n}\right) + i \cdot \text{sen}\left(\frac{m\theta}{n}\right) \right] \cdot \omega^l \quad (3.96) \\ & \text{em } \mathbb{R} \text{ temos: } \stackrel{(\sqrt[n]{r})^m = \sqrt[n]{r^m}}{=} \sqrt[n]{r^m} \left[\cos\left(\frac{m\theta}{n}\right) + i \cdot \text{sen}\left(\frac{m\theta}{n}\right) \right] \cdot \omega^l \\ & \stackrel{(2.163)}{=} (z^m)^{\frac{1}{n}}, \end{aligned}$$

mostrando a validade de (2.165), completando a demonstração. \square

Capítulo 4

Resoluções dos exemplos

Resolução 4.0.1 do Exemplo 2.1.1 :

Notemos que:

$$\begin{aligned} \frac{(-1 + 3 \cdot i) \cdot (2 + 3 \cdot i)}{1 - i} + 8 \cdot i &\stackrel{(2.3)}{=} \frac{(-1 \cdot 2 - 3 \cdot 3, -1 \cdot 3 + 3 \cdot 3)}{1 - i} + 8 \cdot i \\ &= \frac{-11 + 3 \cdot i}{1 - i} + 8 \cdot i \\ &= \frac{-11 + 3 \cdot i}{1 - i} \cdot \frac{1 + i}{1 + i} + 8 \cdot i \\ &= \frac{(-11 - 3) + (3 - 11) \cdot i}{1^2 + 1^2} + 8 \cdot i \\ &= (-7 - 4 \cdot i) + 8 \cdot i \\ &= -7 + 4 \cdot i. \end{aligned}$$

□

Resolução 4.0.2 do Exemplo 2.4.1 :

Pela Definição 2.4.1, temos que:

$$\begin{aligned} \bar{z}_1 &\stackrel{(2.60)}{=} \stackrel{(2.59)}{=} (2, -3) \\ e \\ \bar{z}_2 &\stackrel{(2.60)}{=} \stackrel{(2.59)}{=} 3 + \pi \cdot i. \end{aligned}$$

□

Resolução 4.0.3 do Exemplo 2.5.1 :

Pela Definição 2.5.1, temos que:

$$\begin{aligned} |z| &\stackrel{(2.74)}{=} \stackrel{(2.75)}{=} \sqrt{3^2 + (-\pi)^2} \\ &= \sqrt{9 + \pi^2}. \end{aligned}$$

□

Resolução 4.0.4 do Exemplo 2.6.1 :

Notemos que, de (2.113), teremos:

$$x \doteq 2 \quad e \quad y \doteq -2 \neq 0. \quad (4.1)$$

Logo de (2.102), (2.104), (2.105) e (4.1), segue que

$$\begin{aligned} r &\stackrel{(2.104)}{=} \sqrt{x^2 + y^2} \\ &\stackrel{(4.1)}{=} \sqrt{2^2 + (-2)^2} \\ &= 2\sqrt{2} \end{aligned} \quad (4.2)$$

e

$$\begin{aligned} \theta &\stackrel{(2.105)}{=} \operatorname{arctg}\left(\frac{x}{y}\right) \\ &= \operatorname{arctg}\left(\frac{2}{-2}\right) \\ &= \operatorname{arctg}(-1) \\ &\stackrel{z \text{ está no } 4.\text{o} \text{ quadrante}}{=} \frac{-\pi}{4} + 2k\pi, \quad \text{para cada } k \in \mathbb{Z}. \end{aligned} \quad (4.3)$$

Logo, uma forma polar do número complexo z (tomando-se $k = 0$ em (4.3)), dado por (2.113), será dada por:

$$\begin{aligned} z &= 2\sqrt{2} \left[\cos\left(\frac{-\pi}{4}\right) + i \cdot \operatorname{sen}\left(\frac{-\pi}{4}\right) \right] \\ &\stackrel{\cos(-\theta)=\cos(\theta) \quad e \quad \operatorname{sen}(-\theta)=-\operatorname{sen}(\theta)}{=} 2\sqrt{2} \left[\cos\left(\frac{\pi}{4}\right) - i \cdot \operatorname{sen}\left(\frac{\pi}{4}\right) \right] \end{aligned}$$

□

Resolução 4.0.5 do Exemplo 2.6.2 :

Geometricamente o subconjunto de \mathbb{C} , formado por todas as soluções da equação (2.141), é uma circunferência de centro no ponto

$$z_0 \doteq -i = (0, -1)$$

e raio

$$\rho \doteq 4.$$

De fato, podemos reescrever (2.141), da seguinte forma:

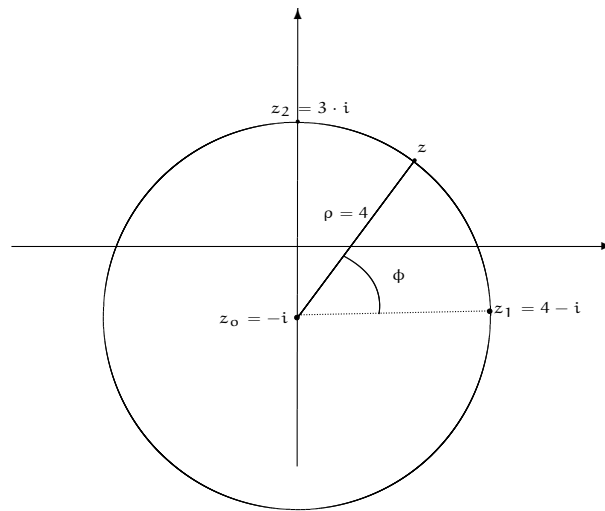
$$z - (-i) = \underbrace{4}_{\doteq r} [\cos(\phi) + i \cdot \operatorname{sen}(\phi)]. \quad (4.4)$$

Desta forma temos que:

$$\begin{aligned} |z + i| &= |z - (-i)| \\ &\stackrel{(4.4)}{=} r \\ &= 4, \end{aligned}$$

ou seja, as soluções a equação (2.141) serão $z \in \mathbb{C}$ cuja distância à $-i$ é igual a 4, isto é, uma circunferência de centro no ponto $-i$ e raio 4.

A figura abaixo ilustra a situação acima.



Notemos também que, quando:

$$\begin{aligned} \phi_1 \doteq 0, \quad \text{teremos: } z_1 + i &= 4 [\cos(0) + i \cdot \text{sen}(0)] \\ &= 4, \\ &\text{ou seja, } z_1 = 4 - i, \\ \phi_2 \doteq \frac{\pi}{2}, \quad \text{teremos: } z_2 + i &= 4 \left[\cos\left(\frac{\pi}{2}\right) + i \cdot \text{sen}\left(\frac{\pi}{2}\right) \right] \\ &= 4 \cdot i, \\ &\text{ou seja, } z_2 = 3 \cdot i. \end{aligned}$$

Notemos também que, quando ϕ varia de 0 e 2π , a circunferência acima é percorrida no sentido anti-horário.

□

Resolução 4.0.6 do Exemplo 2.7.1 :

Notemos que a forma polar do número complexo $z \doteq 1 \neq 0$ é dada por

$$\begin{aligned} 1 &= 1 \cdot [\cos(0) + i \cdot \text{sen}(0)] \\ &= [\cos(0) + i \cdot \text{sen}(0)], \end{aligned} \tag{4.5}$$

ou seja,

$$r \doteq 1 \quad \text{e} \quad \theta \doteq 0. \tag{4.6}$$

Logo, teremos

$$\sqrt[r]{r} = 1 \tag{4.7}$$

e assim, de (2.153) e (4.6), segue que

$$\begin{aligned} 1^{\frac{1}{n}} &= \sqrt[n]{r} \cos\left(\frac{\theta}{n} + \frac{2k\pi}{n}\right) + i \cdot \operatorname{sen}\left(\frac{\theta}{n} + \frac{2k\pi}{n}\right) \\ &\stackrel{(4.6) \text{ e } (4.7)}{=} \cos\left(\frac{2k\pi}{n}\right) + i \cdot \operatorname{sen}\left(\frac{2k\pi}{n}\right), \end{aligned}$$

para $k \in \{0, 1, \dots, n-1\}$.

□

Resolução 4.0.7 do Exemplo 2.7.2 :

Analiticamente, teremos, por (2.153) e (4.6) (com $n = 6$):

$$\begin{aligned} 1^{\frac{1}{6}} &= \sqrt[6]{r} \cos\left(\frac{\theta}{6} + \frac{2k\pi}{3}\right) + i \cdot \operatorname{sen}\left(\frac{\theta}{6} + \frac{2k\pi}{3}\right) \\ &\stackrel{(4.6) \text{ e } (4.7)}{=} \cos\left(\frac{2k\pi}{6}\right) + i \cdot \operatorname{sen}\left(\frac{2k\pi}{6}\right) \\ &= \cos\left(\frac{k\pi}{3}\right) + i \cdot \operatorname{sen}\left(\frac{k\pi}{3}\right), \end{aligned}$$

para $k \in \{0, 1, 2, 3, 4, 5\}$, serão todas as soluções complexas da equação (2.160), ou ainda, as 3 raízes cúbicas distintas, da unidade 1, ou ainda, de (2.159), serão:

$$1, \omega, \omega^2, \omega^3, \omega^4, \omega^5.$$

onde ω é dado por

$$\omega \doteq \cos\left(\frac{\pi}{3}\right) + i \cdot \operatorname{sen}\left(\frac{\pi}{3}\right).$$

□

F I M

Referências Bibliográficas

- [C] CHURCHILL, R. V. - *Variáveis Complexas e Aplicações*, Editora McGrawHill, 1975, São Paulo. 1
- [H] HÖNIG, C. S. - *Introdução às Funções de Uma Variável Complexa*, Editora Guanabara Dois, 1981, Rio de Janeiro.
- [L] LEVINSON, N.; REDHEFFER, R. M. - *Complex Variables*, HoldenDay, Inc., 1970, San Francisco.

Índice Remissivo

$(x_1, y_1) + (x_2, y_2)$

definição, 7

$\arg(z^m)^{\frac{1}{n}}$

definição, 46

$\frac{z_1}{z_2}$

forma polar, 38

$z^{\frac{1}{n}}$

definição, 42

$z_1 \cdot z_2$

definição, 7

forma polar, 35

$(x_1, y_1) \cdot (x_2, y_2)$

definição, 7

$-z$

definição, 10

O

definição, 9

\mathbb{C}

definição, 8

\mathbb{C}^* , 11

$\Im(z)$

definição, 9

$\Re(z)$

definição, 9

$\arg(z)$, 33

definição, 33

$\frac{1}{z}$

forma polar, 39

$\frac{1}{z}$

definição, 17

$\frac{z_1}{z_2}$

definição, 11

$(z^m)^{\frac{1}{n}}$

definição, 46

$z^{\frac{m}{n}}$

definição, 46

$|z|$

definição, 24

ω

definição, 44

\bar{z}

definição, 22

i

definição, 9

$i^2 = -1$

identificação, 13

$x = (x, 0)$

identificação, 8

notação, 9

z -plano, 19

$z = x + i \cdot y$

identificação, 12

$z_1 + z_2$

definição, 7

$z_1 - z_2$

definição, 11

$z_1 = z_2$

definição, 10

adição

de números complexos, 7

de pares ordenados, 7

arco-tangente

função, 32

argumento

de um número complexo, 33

complexo

plano, 19

conjugação

- função, 22
- conjugado
 - de um número complexo, 22
- conjunto
 - dos números complexos, 8
- De Moivre
 - formula de, 38
- definição
 - $(x_1, y_1) + (x_2, y_2)$, 7
 - $\arg(z^m)^{\frac{1}{n}}$, 46
 - $z^{\frac{1}{n}}$, 42
 - $z_1 \cdot z_2$, 7
 - $(x_1, y_1) \cdot (x_2, y_2)$, 7
 - $-z$, 10
 - O, 9
 - \mathbb{C} , 8
 - $\Im(z)$, 9
 - $\Re(z)$, 9
 - $\arg(z)$, 33
 - $\frac{1}{z}$, 17
 - $\frac{\bar{z}_1}{z_2}$, 11
 - $(z^m)^{\frac{1}{n}}$, 46
 - $z^{\frac{m}{n}}$, 46
 - $|z|$, 24
 - ω , 44
 - \bar{z} , 22
 - i , 9
 - $z_1 + z_2$, 7
 - $z_1 - z_2$, 11
 - $z_1 = z_2$, 10
- diferença
 - de números complexos, 11
 - de vetores, 21
- divisão
 - de números complexos, 11
- eixo
 - imaginário, 19
 - real, 19
- fórmula
 - de De Moivre, 38
- forma
 - polar de um número complexo, 31
- forma polar
 - $z_1 \cdot z_2$, 35
 - $\frac{z_1}{z_2}$, 38
 - $\frac{1}{z}$, 39
- função
 - arco-tangente, 32
 - argumento de um número complexo, 33
 - conjugação, 22
 - módulo, 24
 - tangente, 32
 - valor absoluto, 24
- identificação
 - $i^2 = -1$, 13
 - $z = x + i \cdot y$, 12
 - $x = (x, 0)$, 8
- igualdade
 - de números complexos, 10
- imaginária
 - unidade, 9
- imaginário
 - eixo, 19
- imaginário puro
 - número complexo que é, 9
- módulo
 - de um número complexo, 24
 - função, 24
- multiplicação
 - de números complexos, 7
 - de pares ordenados, 7
- número complexo
 - argumento de um, 33
 - conjugado de um, 22
 - forma polar, 31
 - imaginário puro, 9
 - módulo de um, 24
 - oposto de um, 10
 - parte imaginária de um, 9
 - parte real de um, 9

- valor absoluto de um, 24
- números complexos
 - adição de, 7
 - conjunto formado pelos, 8
 - diferença de, 11
 - divisão de, 11
 - iguais, 10
 - multiplicação de, 7
 - produto de, 7
 - quociente de, 11
 - soma de, 7
 - subtração de, 11
- oposto
 - de um número complexo, 10
- par ordenado
 - produto de, 7
- pares ordenados
 - adição de, 7
 - multiplicação de, 7
 - soma de, 7
- parte imaginária
 - de um número complexo, 9
- parte real
 - de um número complexo, 9
- plano
 - complexo, 19
- produto
 - de números complexos, 7
 - de pares ordenados, 7
- quociente
 - de números complexos, 11
- real
 - eixo, 19
- soma
 - de números complexos, 7
 - de vetores, 20
 - pares ordenados, 7
- subtração
 - de números complexos, 11
- tangente
 - função, 32
- unidade
 - imaginária, 9
- valor absoluto
 - de um número complexo, 24
 - função, 24
- vetores em \mathbb{R}^2
 - diferença, 21
 - soma, 20